

Corso di aggiornamento professionale

**Valutazione della vulnerabilità sismica
di edifici esistenti in c.a.**

Parma

27-28 maggio 2016

Aurelio Ghersi

**08 - Corrispondenza tra punti della pushover
e accelerazione sismica**

Corrispondenza tra punti della pushover e accelerazione sismica

Impostazione suggerita dalle norme europee:

- Metodo N2, proposto da Fajfar

Alternativa, sostanzialmente equivalente:

- Metodo N1, di Gheresi et al.

Evita il passaggio, avanti e indietro, tra schema reale e schema a un grado di libertà

Procedimento preferito negli Stati Uniti

- Metodo di Freeman o dello spettro di capacità

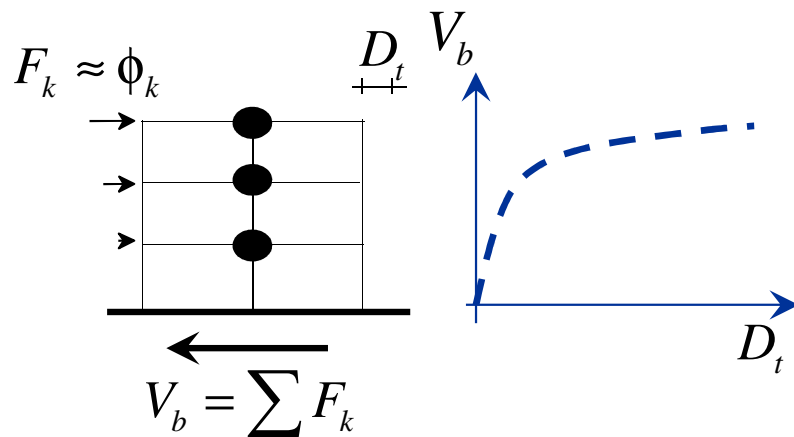
Tiene conto in maniera differente (con variazione dello smorzamento) della variazione di dissipazione dovuta al progressivo danneggiamento della struttura

Metodo N2

Fajfar

Multi Degree of Freedom

Telaio MDOF

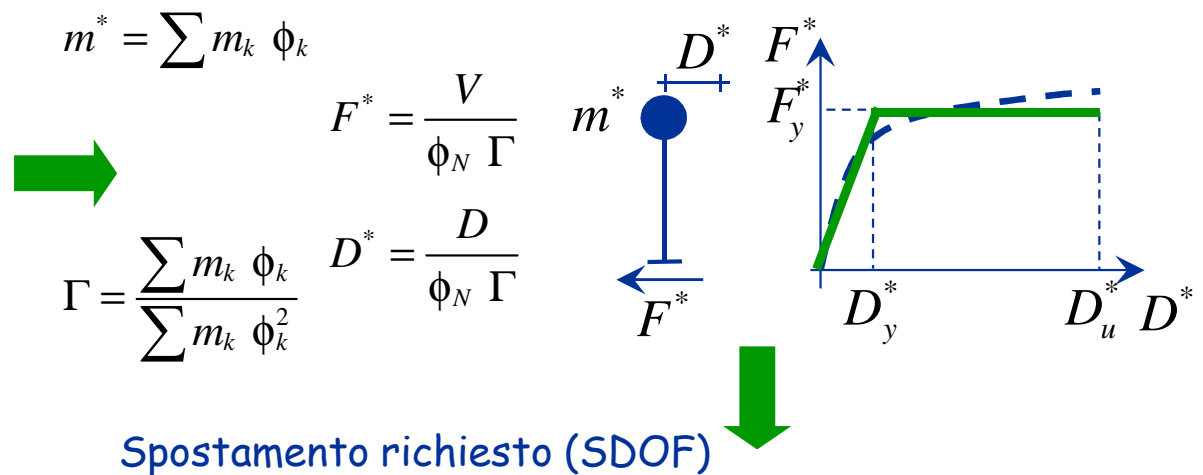


Spostamento richiesto (MDOF)

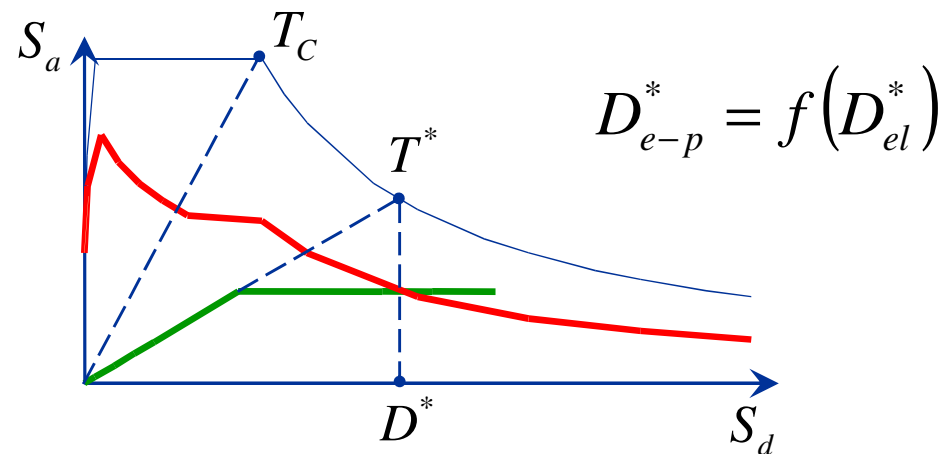
$$D_t = \Gamma D^*$$

Single Degree of Freedom

Sistema SDOF equivalente

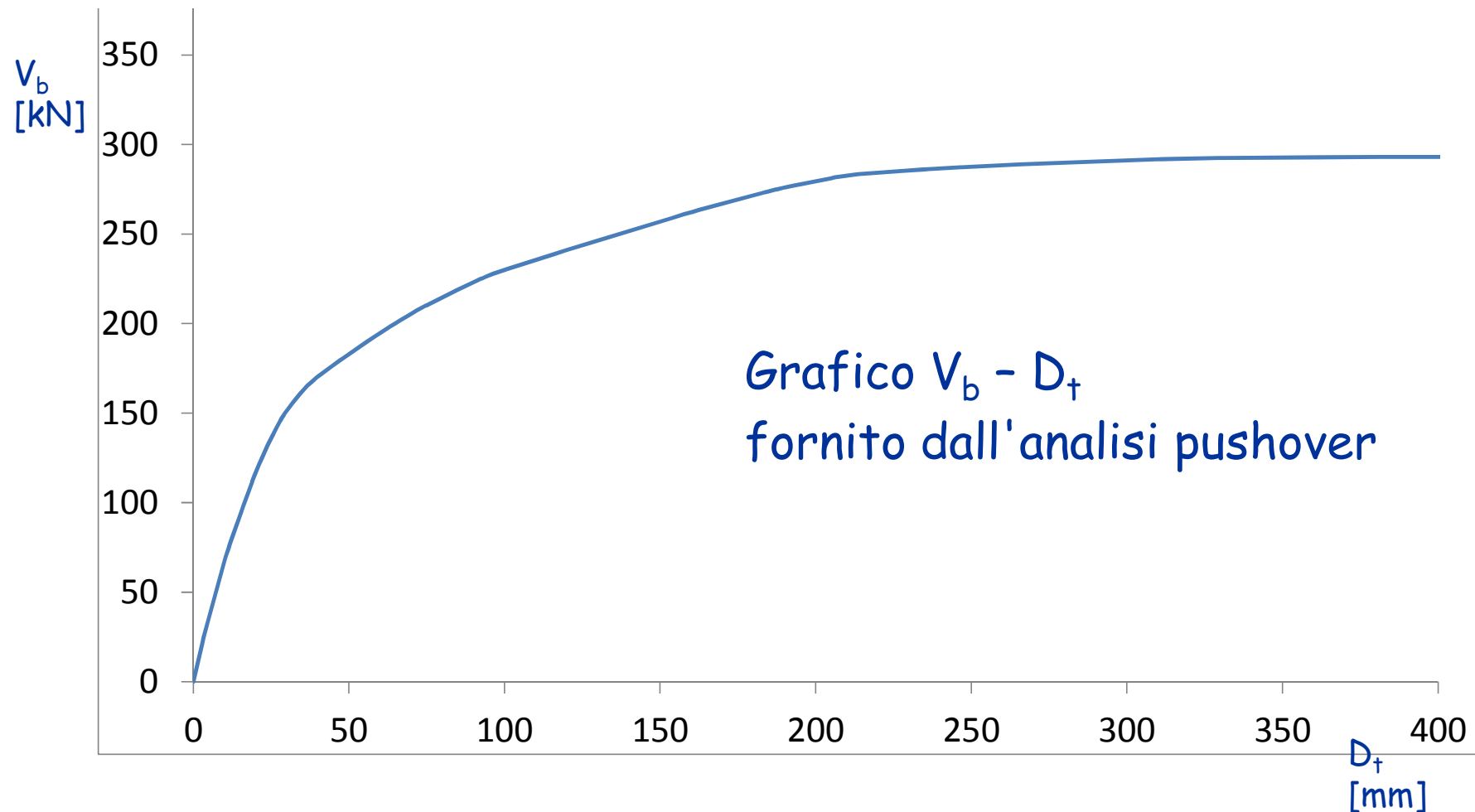


Spostamento richiesto (SDOF)



Determinazione di a_g metodo N2

1. Curva di pushover



Determinazione di a_g metodo N2

1. Curva di pushover

passo	Dt - Do	Vb (kN)
0	0.000	0.00
1	2.907	21.52
2	3.327	24.44
3	4.678	33.52
4	9.018	61.08
5	10.074	67.55
6	10.518	70.10
7	11.322	74.48
8	11.729	76.63
9	11.733	76.65
10	12.715	81.69
11	15.467	95.24
12	16.006	97.85

• • • • •

79	206.089	281.56
80	213.577	283.50
81	228.877	285.45
82	234.383	286.07
83	236.301	286.29

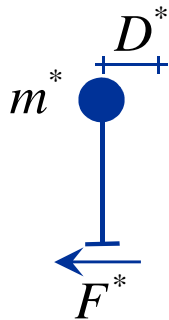
• • • • •

Tabella di valori $D_t - V_b$
forniti dall'analisi pushover

Determinazione di a_g metodo N2

2. Passaggio da MDOF a SDOF

Sistema SDOF equivalente



$$m^* = \frac{\sum m_k \phi_k}{\phi_N}$$

$$F^* = \frac{V_b}{\Gamma}$$

$$\Gamma = \frac{\sum m_k \phi_k}{\sum m_k \phi_k^2} \phi_N$$

$$D^* = \frac{D_l}{\Gamma}$$

m_k massa al piano k generico

ϕ_k spostamento indotto dalle forze al piano k generico,
da analisi lineare (in genere, normalizzato rispetto a D_+)

Nota: le formule sono ricavate per una distribuzione di forze modale; in questo caso accelerazioni (=forze/masse) e spostamenti sono proporzionali

Determinazione di a_g metodo N2

2. Passaggio da MDOF a SDOF

piano	massa [t]	Dk	$\phi_k = D_k/D_6$	$m \phi$	$m \phi^2$
6	131.8	185.551	1.000	132	132
5	153.8	168.434	0.908	140	127
4	153.8	138.917	0.749	115	86
3	153.8	98.416	0.530	82	43
2	153.8	54.877	0.296	45	13
1	153.8	17.779	0.096	15	1
				528	403

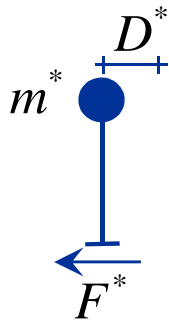
m_k massa al piano k generico

ϕ_k spostamento indotto dalle forze al piano k generico
(da analisi lineare)

Determinazione di a_g metodo N2

2. Passaggio da MDOF a SDOF

Sistema SDOF equivalente



$$m^* = \frac{\sum m_k \phi_k}{\phi_N} = 528.4 \text{ t}$$

$$\Gamma = \frac{\sum m_k \phi_k}{\sum m_k \phi_k^2} \phi_N = 1.311$$

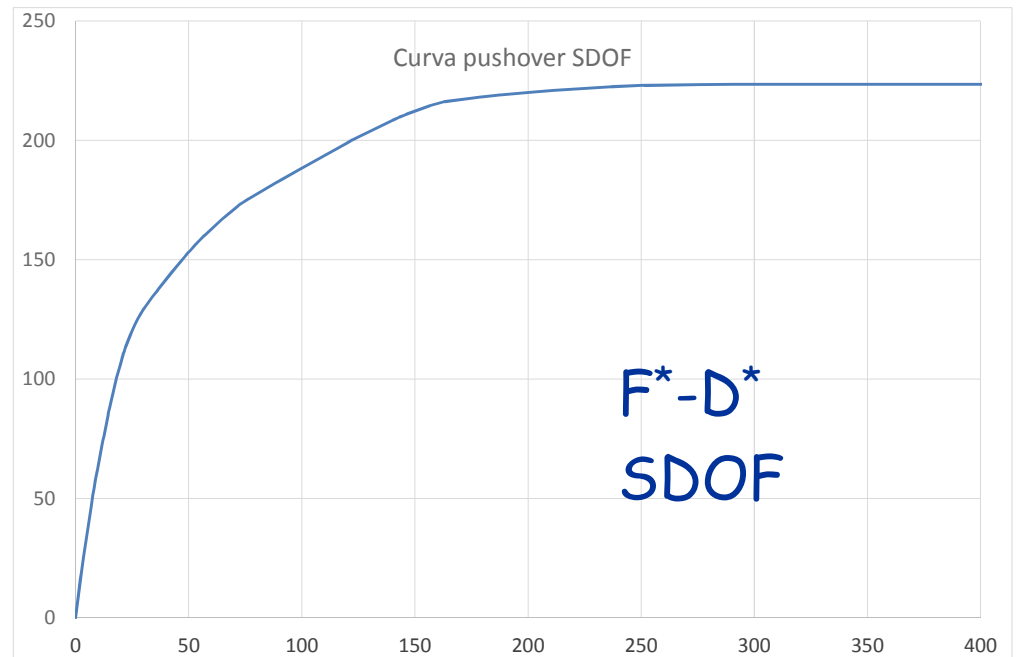
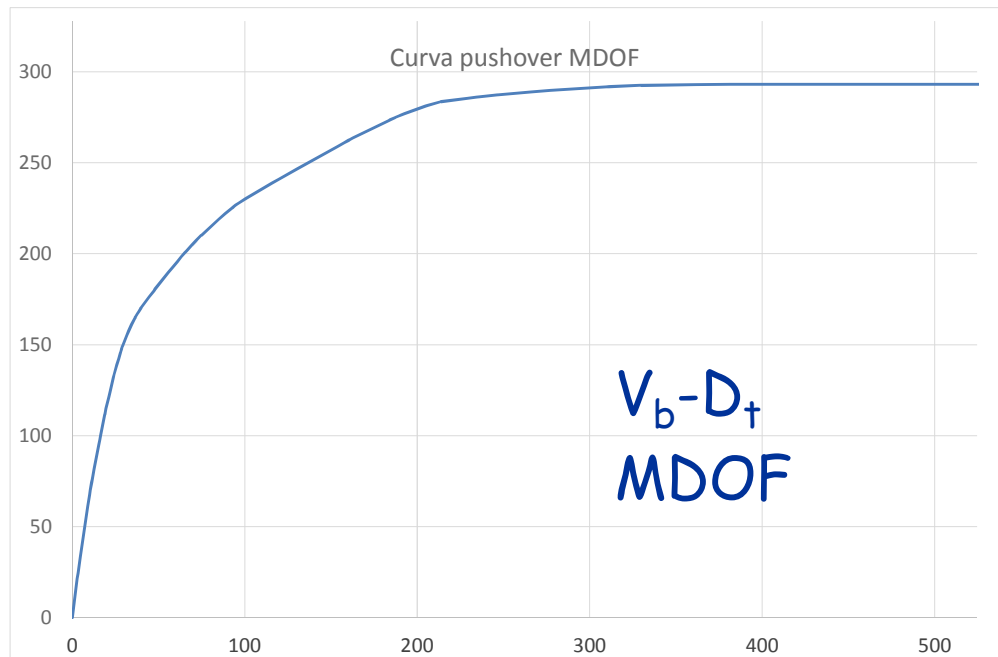
$$F^* = \frac{V_b}{\Gamma}$$

$$D^* = \frac{D_t}{\Gamma}$$

Con queste relazioni si passa dal grafico V_b - D_t
al grafico F^* - D^*

Determinazione di a_g metodo N2

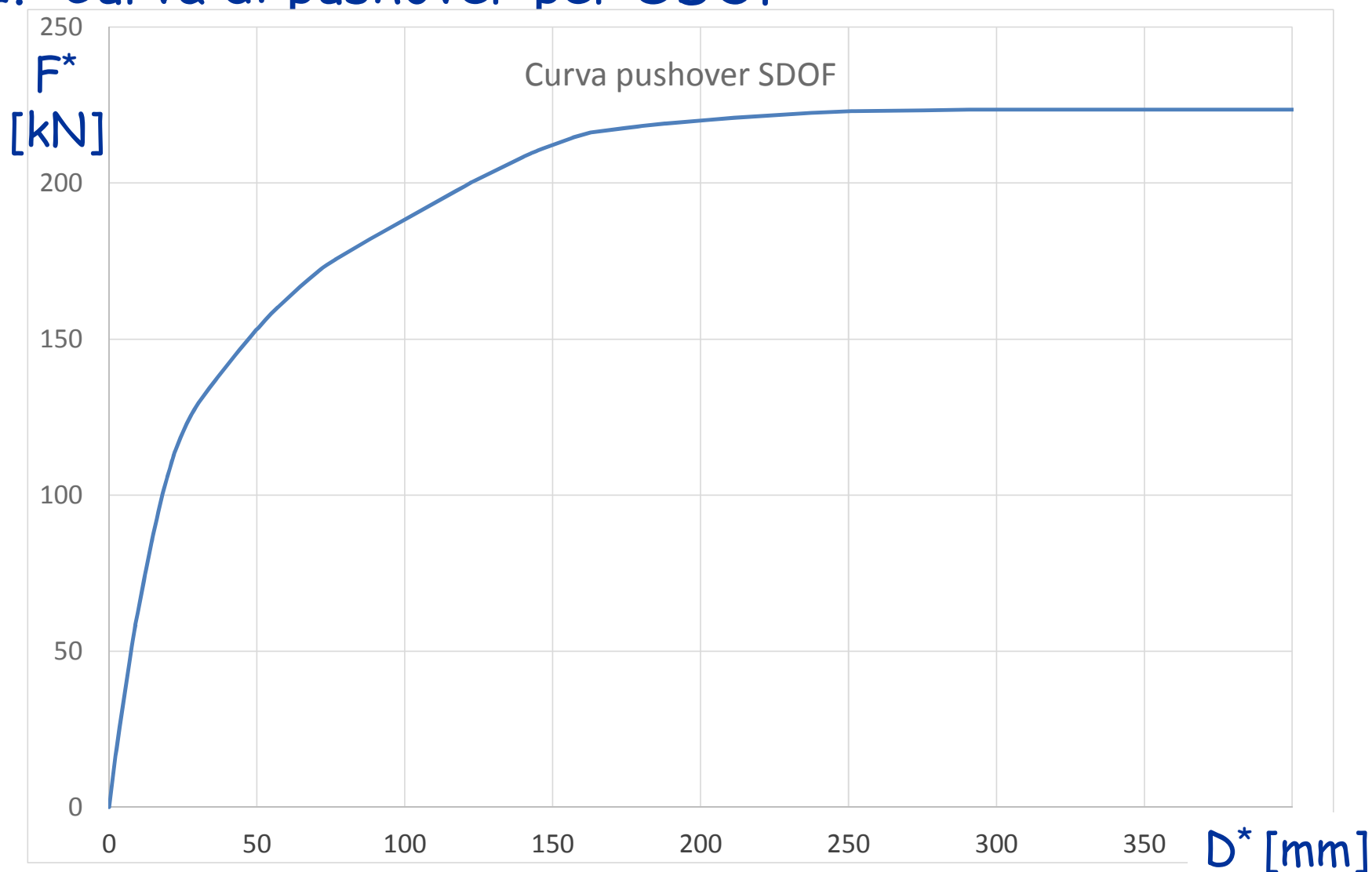
2. Passaggio da MDOF a SDOF



I due grafici sono perfettamente proporzionali

Determinazione di a_g metodo N2

2. Curva di pushover per SDOF



Determinazione di a_g metodo N2

2. Curva di pushover per SDOF

passo	D*	F*
0	0.000	0.00
1	2.217	16.41
2	2.537	18.64
3	3.567	25.56
4	6.876	46.57
5	7.682	51.51
6	8.020	53.45
7	8.633	56.79
8	8.943	58.43
9	8.947	58.45
10	9.695	62.29
11	11.794	72.62
12	12.205	74.61

• • • • •

79	157.145	214.69
80	162.854	216.17
81	174.521	217.66
82	178.719	218.13
83	180.182	218.30

• • • • •

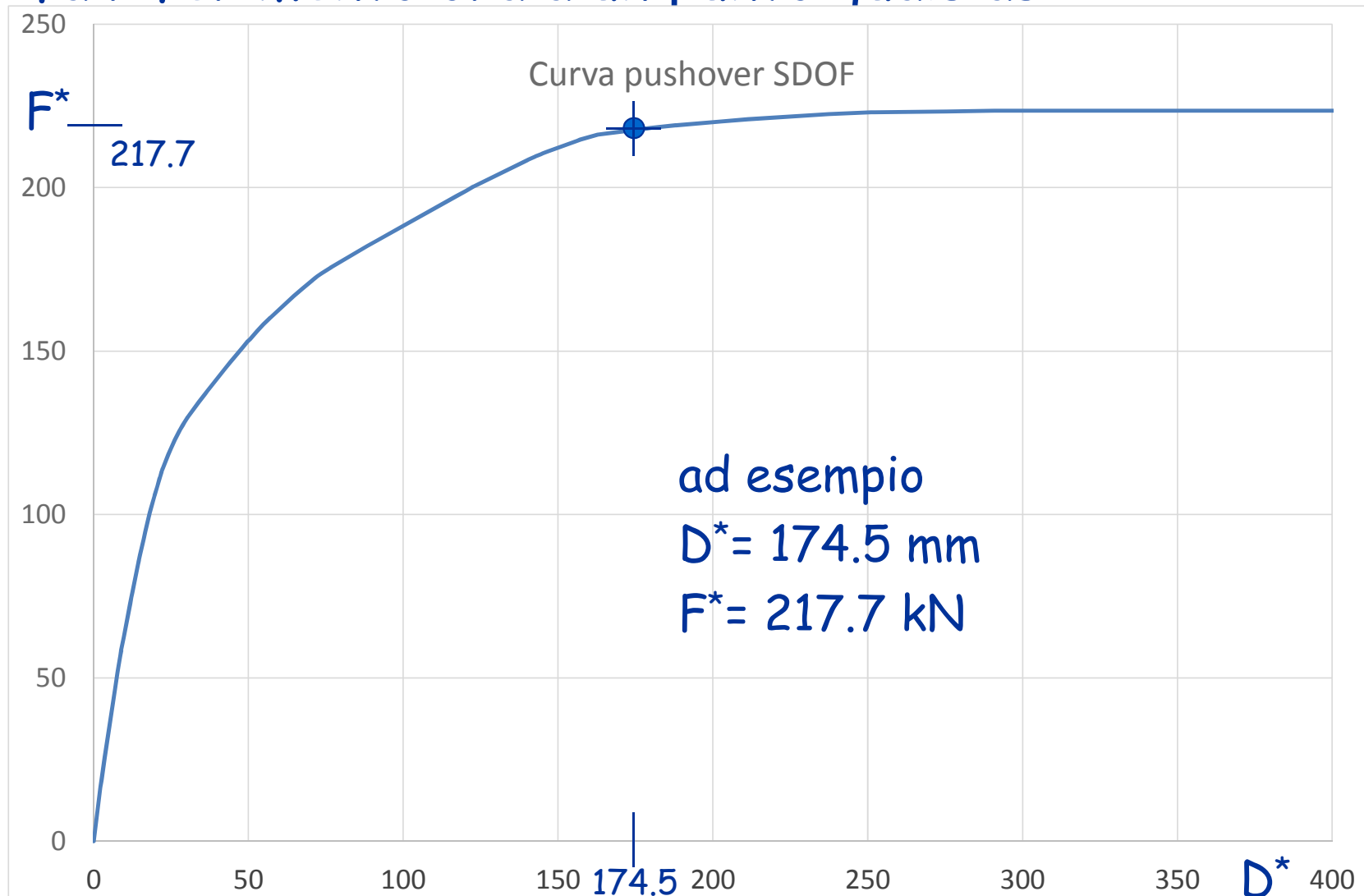
Tabella di valori D^* - F^*
forniti dall'analisi pushover

Determinazione di a_g metodo N2

- Un legame forza-spostamenti curvilineo non si presta per elaborazioni semplificate
- È necessario sostituirlo con un legame più semplice, elasto-plastico (con o senza incrudimento)
- Se l'obiettivo è conoscere solo il comportamento "ultimo" si può operare sull'intera curva
... ma questo fornisce solo una risposta secca, mentre a noi interessa capire il comportamento della struttura sotto sisma
- Per questo motivo ripeto il ragionamento per ciascun punto della curva

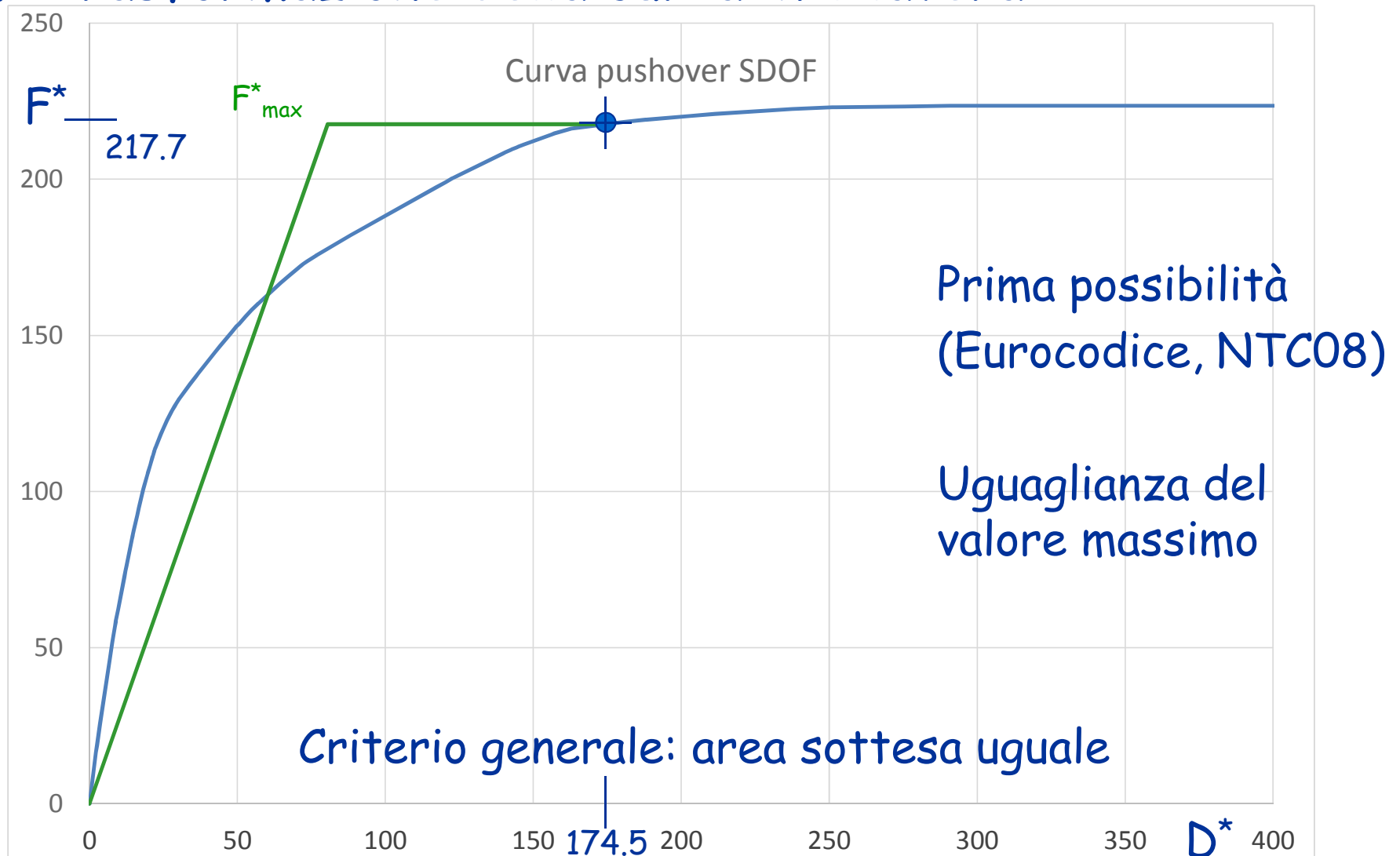
Determinazione di a_g metodo N2

Si fa riferimento ora a un punto qualsiasi



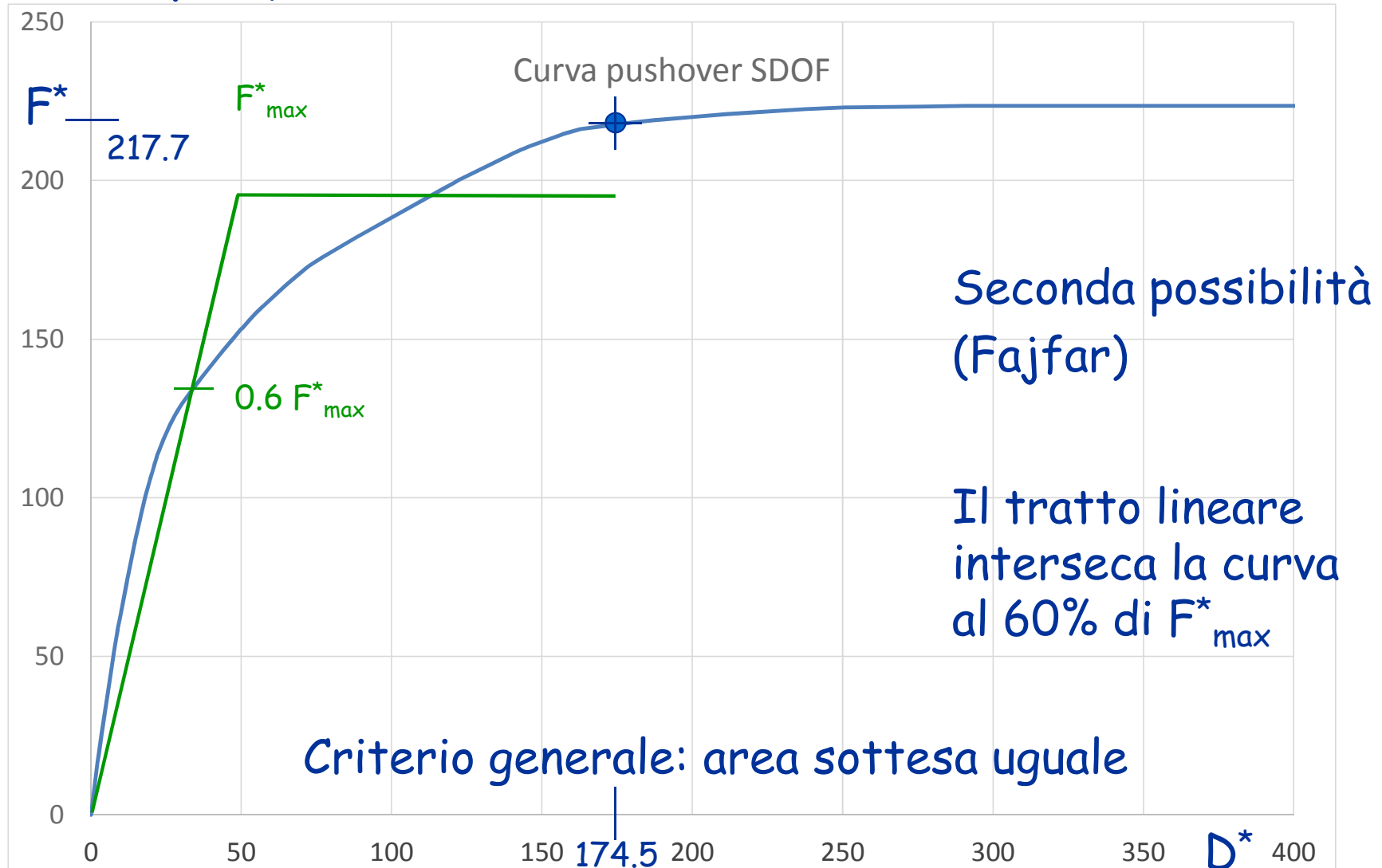
Determinazione di a_g metodo N2

3. Trasformazione della curva in bilatera



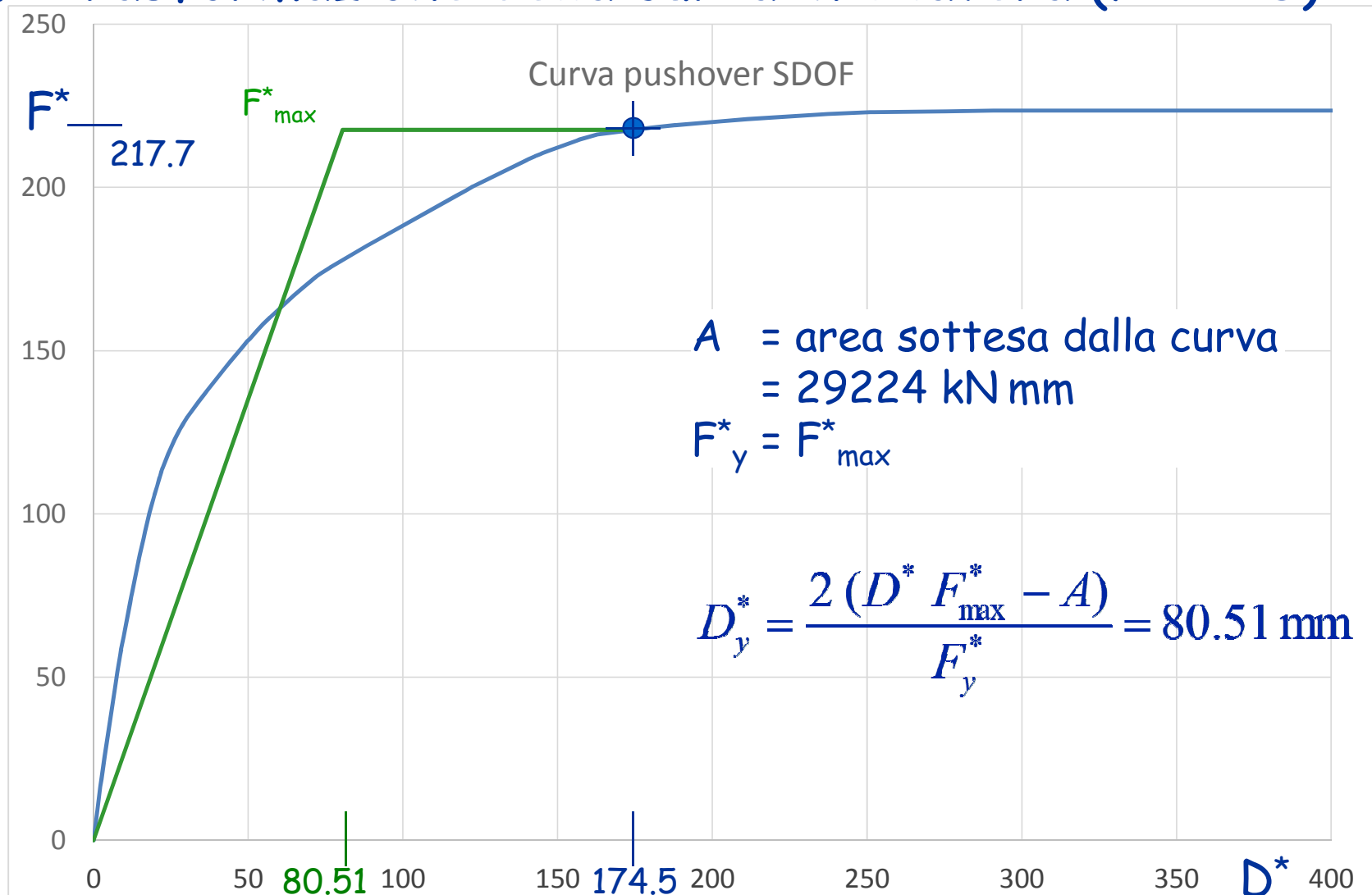
Determinazione di a_g metodo N2

3. Trasformazione della curva in bilatera



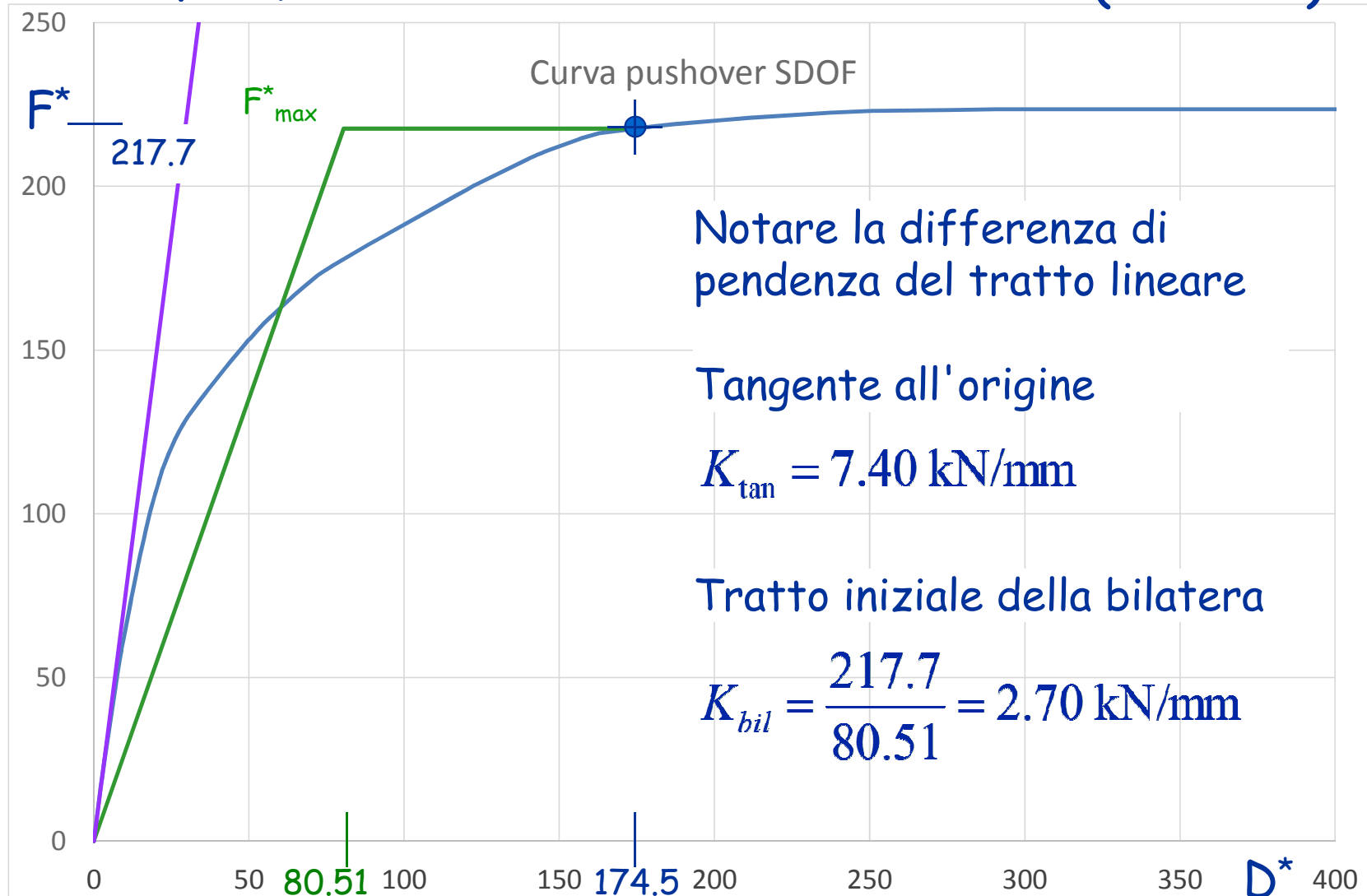
Determinazione di a_g metodo N2

3. Trasformazione della curva in bilatera (NTC08)



Determinazione di a_g metodo N2

3. Trasformazione della curva in bilatera (NTC08)



Determinazione di a_g metodo N2

- Alla differenza di rigidezza corrisponde una differenza di periodo
 - Comportamento elastico lineare (tangente all'origine)

$$T = 2\pi \sqrt{\frac{m^*}{K_{\text{tan}}}} = 2 \times 3.14 \sqrt{\frac{528.7}{7.40 \times 10^3}} = 1.679 \text{ s}$$

- Primo tratto della bilatera

$$T = 2\pi \sqrt{\frac{m^*}{K_{\text{tan}}}} = 2 \times 3.14 \sqrt{\frac{528.7}{2.70 \times 10^3}} = 2.778 \text{ s}$$

Determinazione di a_g metodo N2

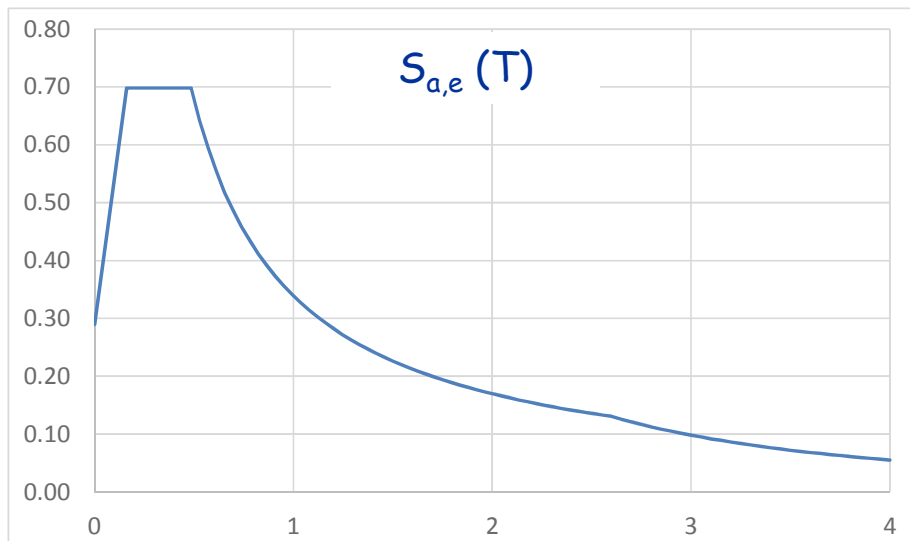
4. Accelerazione corrispondente alla bilatera

- È possibile valutare la risposta della bilatera sfruttando gli spettri di risposta per il sito in esame

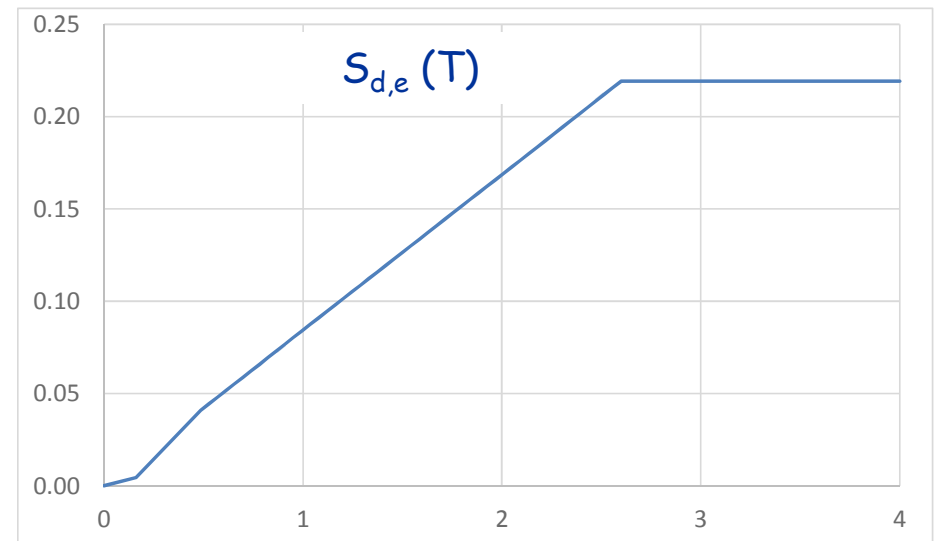
Dati spettro					
SL	ag	Fo	TC*	suolo	topogr.
SLV	0.250	2.410	0.360	B	T1
Dati derivati					
S	TB	TC	TD		
1.159	0.162	0.486	2.6		

Determinazione di a_g metodo N2

- È possibile valutare la risposta della bilatera sfruttando gli spettri di risposta per il sito in esame



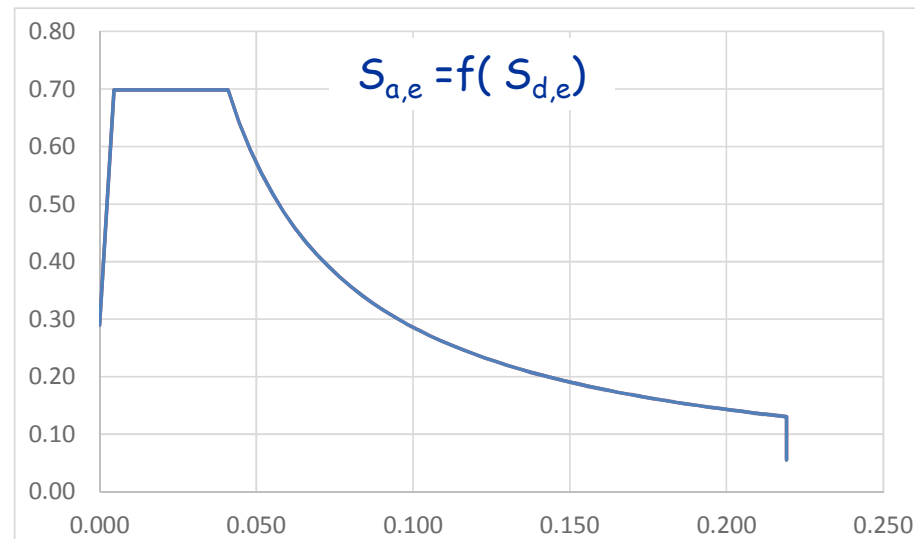
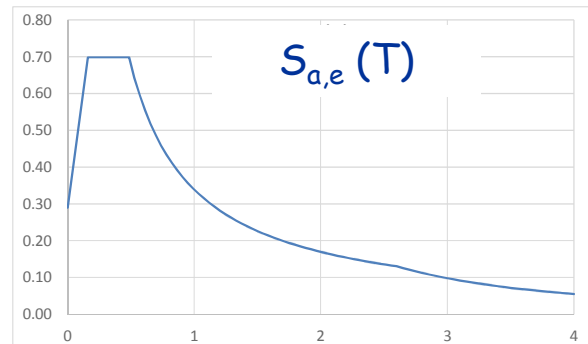
$S_{a,e}$ = accelerazione



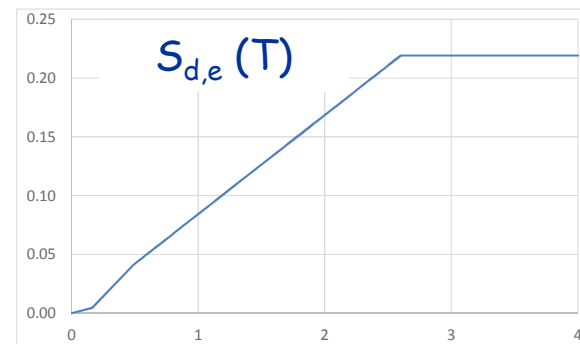
$S_{d,e}$ = spostamento

Determinazione di a_g metodo N2

- È possibile valutare la risposta della bilatera sfruttando gli spettri di risposta per il sito in esame

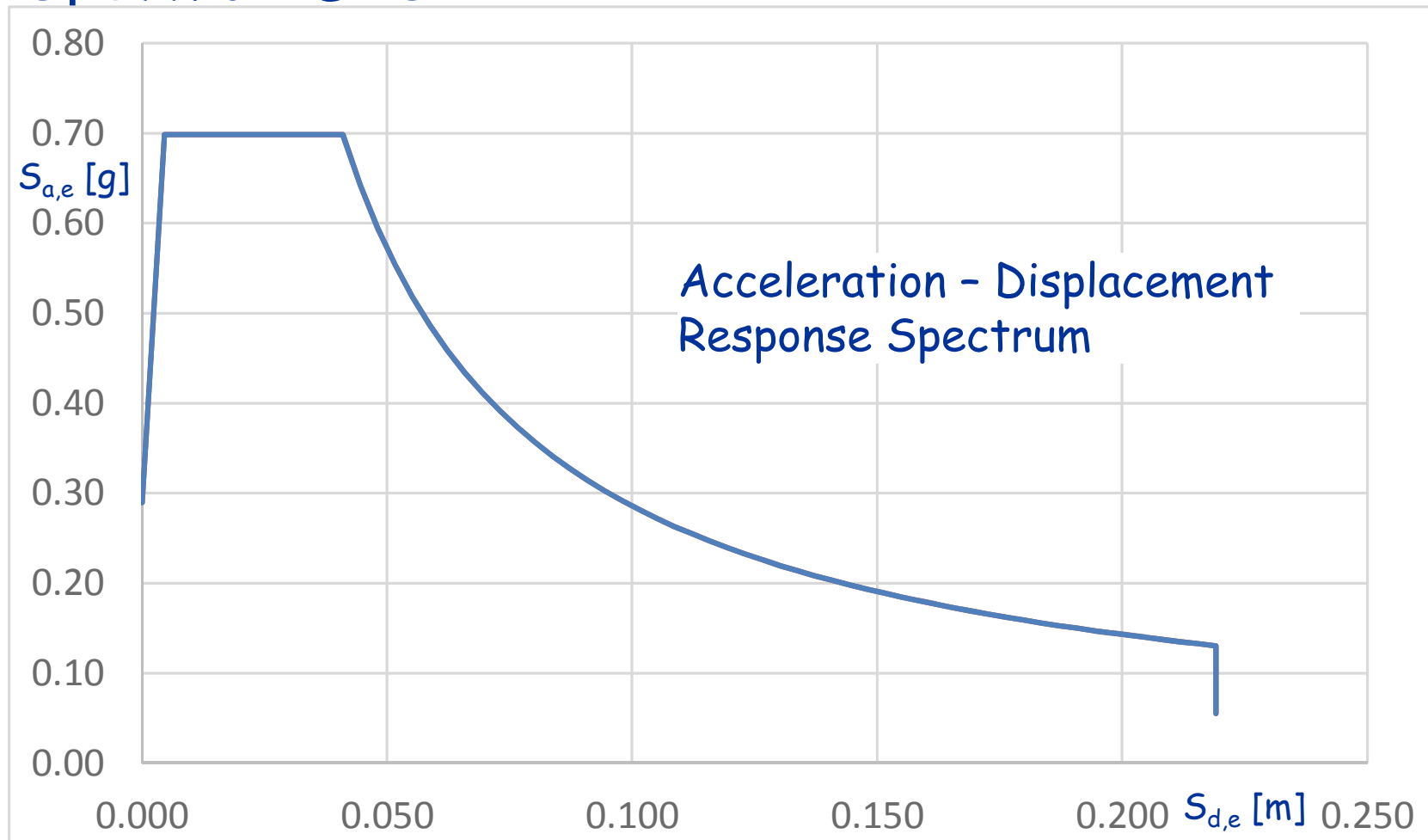


Si possono riportare in grafico le accelerazioni in funzione degli spostamenti (escludendo il periodo T)



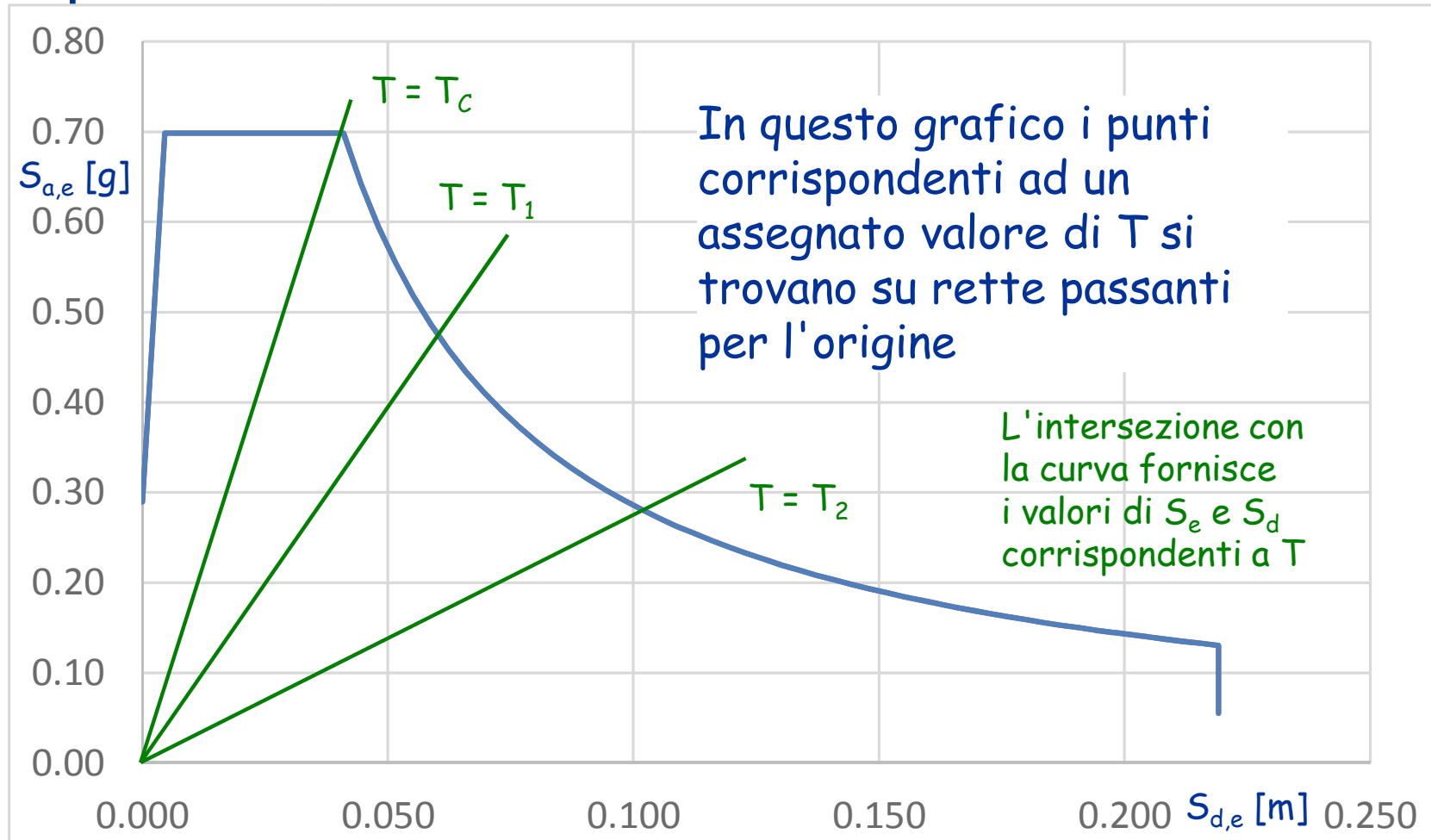
Determinazione di a_g metodo N2

- Spettro ADRS



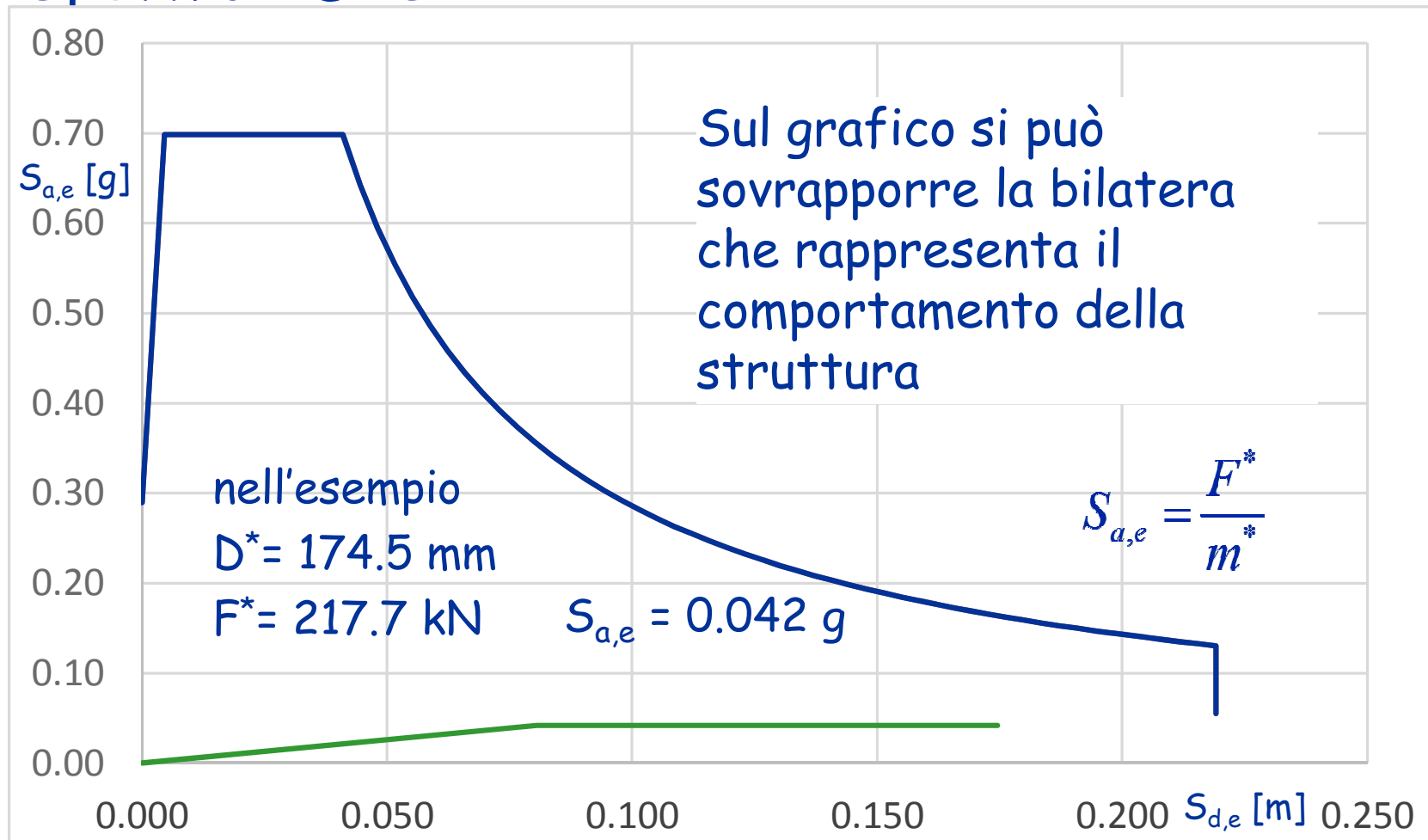
Determinazione di a_g metodo N2

- Spettro ADRS



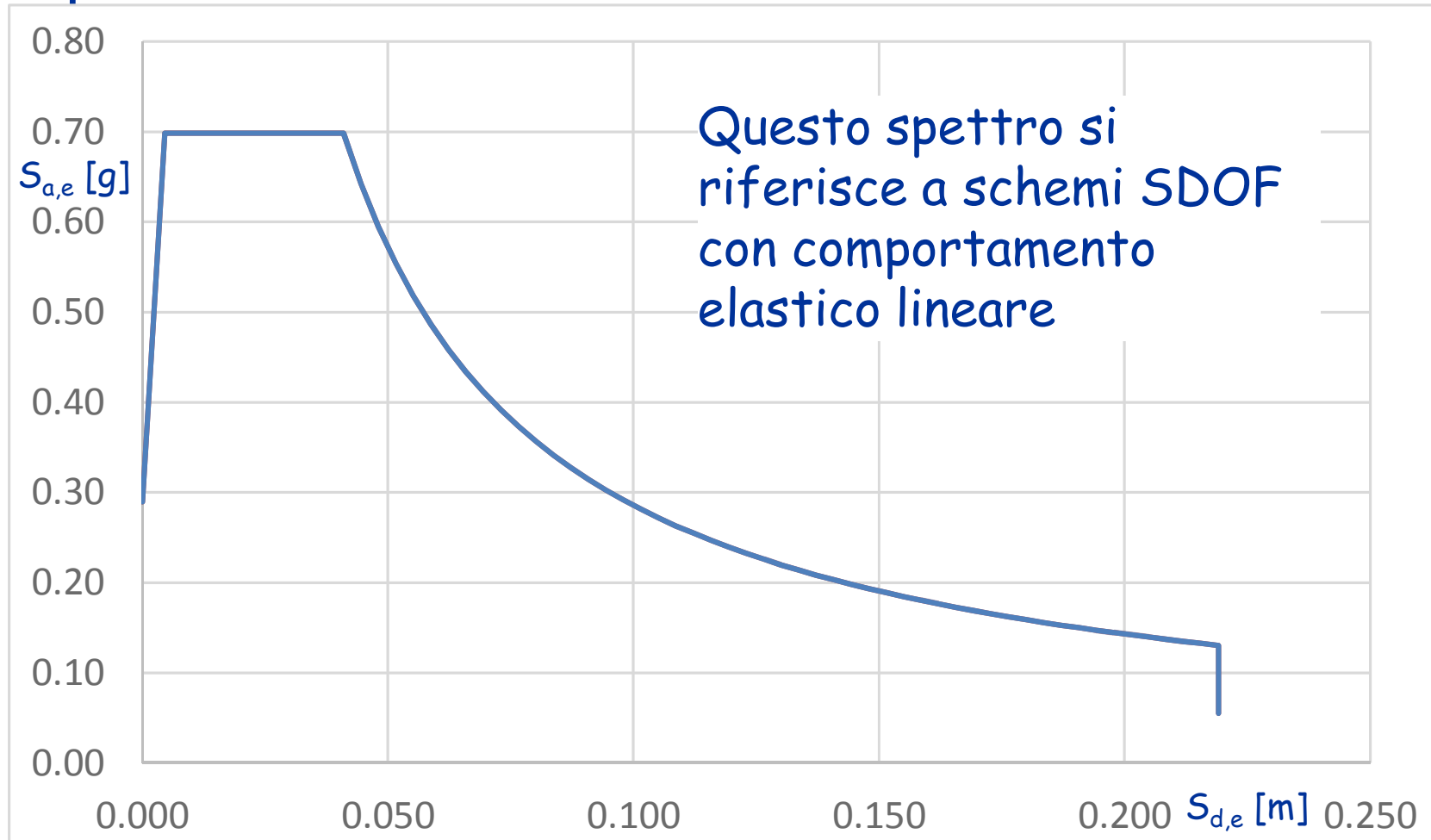
Determinazione di a_g metodo N2

- Spettro ADRS



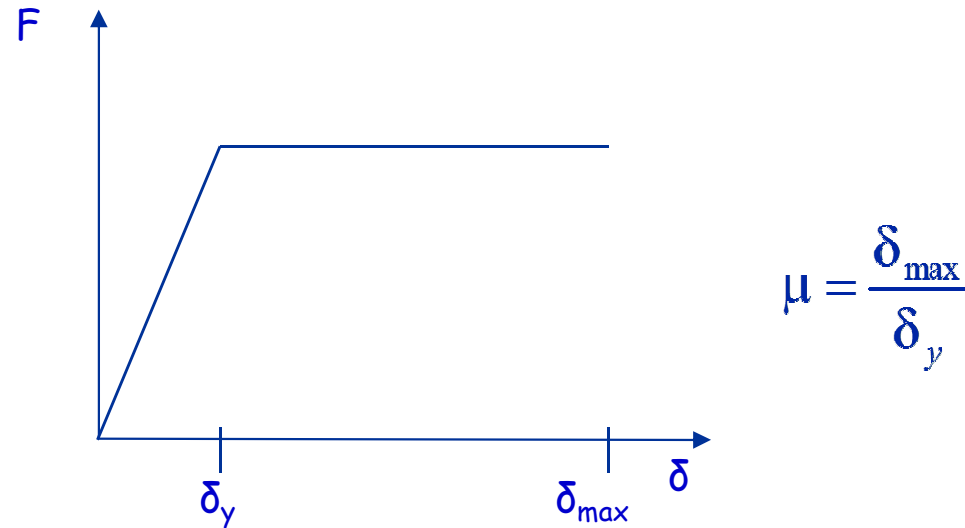
Determinazione di a_g metodo N2

- Spettro ADRS



Determinazione di a_g metodo N2

- Se la struttura va in campo plastico, la sua risposta dipende anche dalla duttilità μ



nell'esempio

$$D_{max}^* = 174.5 \text{ mm}$$

$$D_y^* = 80.51 \text{ kN}$$

$$\mu = \frac{174.5}{80.51} = 2.17$$

Determinazione di a_g metodo N2

- Se la struttura va in campo plastico, la sua risposta dipende anche dalla duttilità μ

Se il periodo T è maggiore di T_0 (prossimo a T_c):

$$T_0 = 0.65 \mu^{0.3} T_c \leq T_c$$

- L'accelerazione si riduce esattamente di μ

$$S_{a,ep} = \frac{S_{a,e}}{\mu}$$

- Lo spostamento non cambia

$$S_{d,ep} = S_{d,e}$$

Determinazione di a_g metodo N2

- Se la struttura va in campo plastico, la sua risposta dipende anche dalla duttilità μ

Se il periodo T è minore di T_0 (prossimo a T_c):

- L'accelerazione si riduce non proporzionalmente a μ

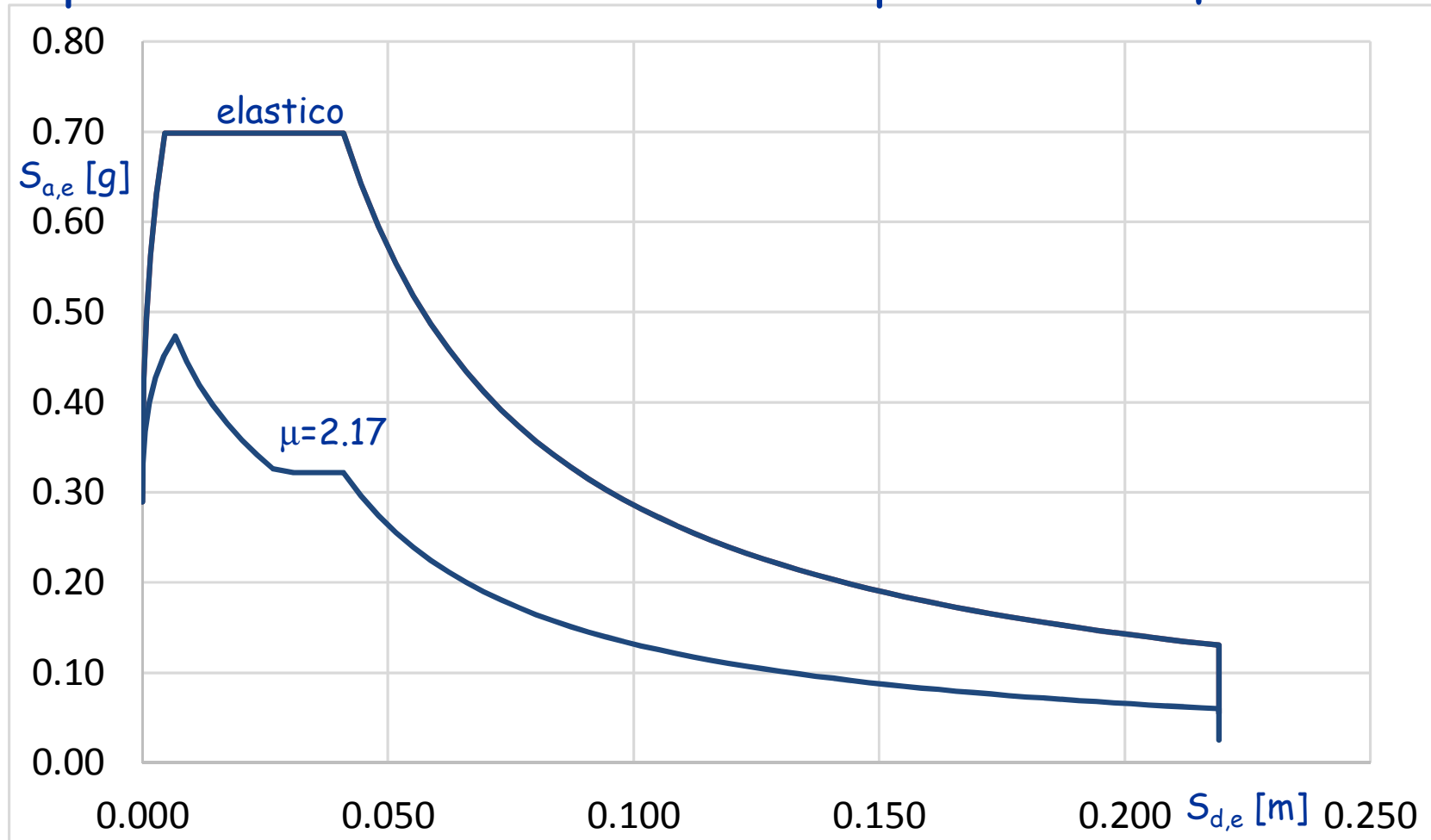
$$S_{a,ep} = \frac{S_{a,e}}{(\mu - 1) \frac{T}{T_0} + 1}$$

- Lo spostamento diventa

$$S_{d,ep} = \frac{\mu}{(\mu - 1) \frac{T}{T_0} + 1} S_{d,e}$$

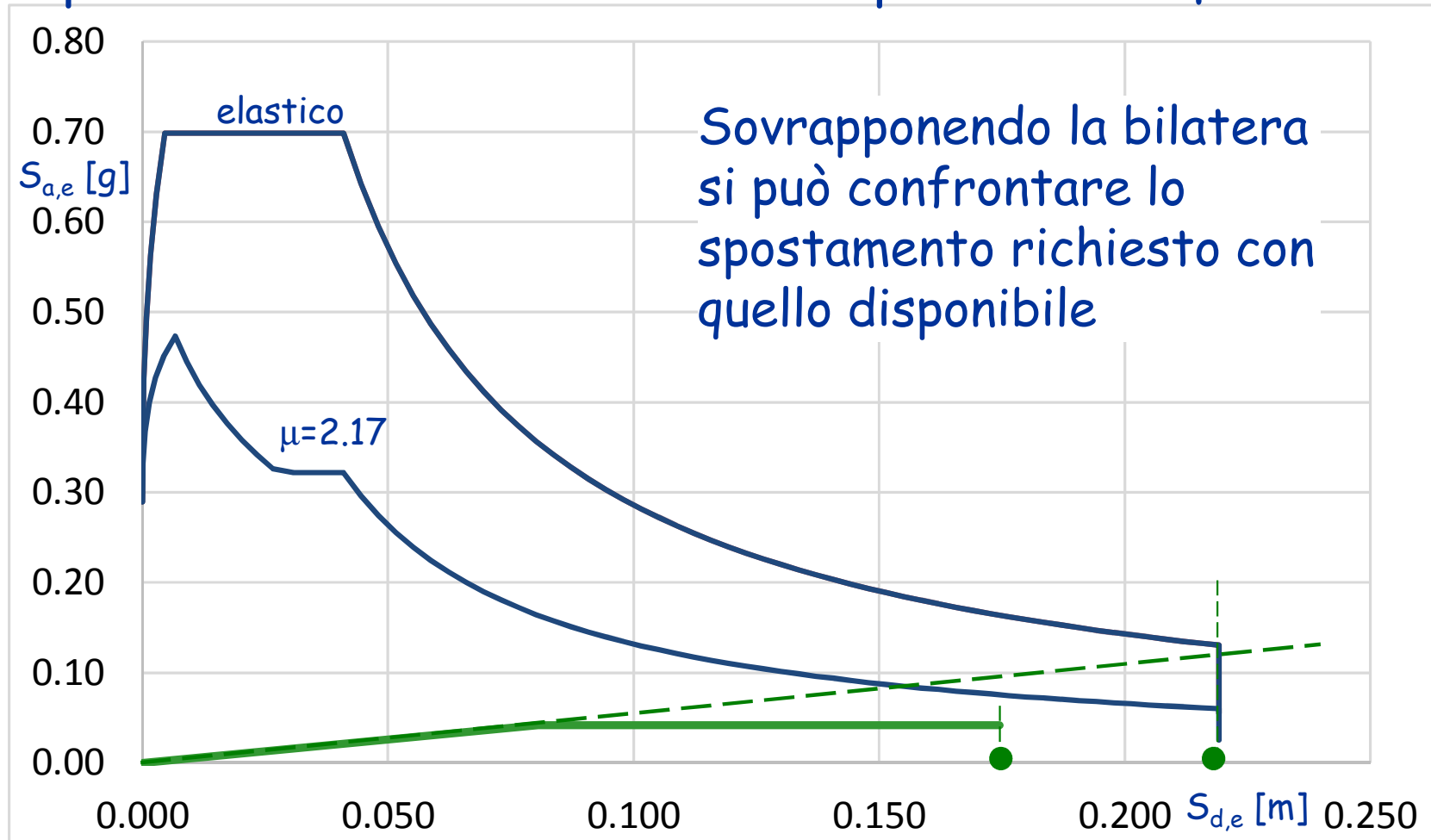
Determinazione di a_g metodo N2

- Spettro ADRS elastico ed elastoplastico con $\mu = 2.17$



Determinazione di a_g metodo N2

- Spettro ADRS elastico ed elastoplastico con $\mu = 2.17$



Determinazione di a_g metodo N2

- Confronto suggerito da Fajfar per giudicare domanda e capacità

Questo confronto, effettuato con la bilatera che rappresenta il comportamento ultimo della struttura, consente di dire se la struttura è in grado di sopportare il sisma

... ma io voglio sapere molto di più



voglio sapere cosa succede nella struttura
per un qualsiasi valore dell'accelerazione

Determinazione di a_g metodo N2

4. Accelerazione corrispondente alla bilatera
- Per determinare l'accelerazione del sisma corrispondente al punto in esame non occorrono grafici, bastano le formule

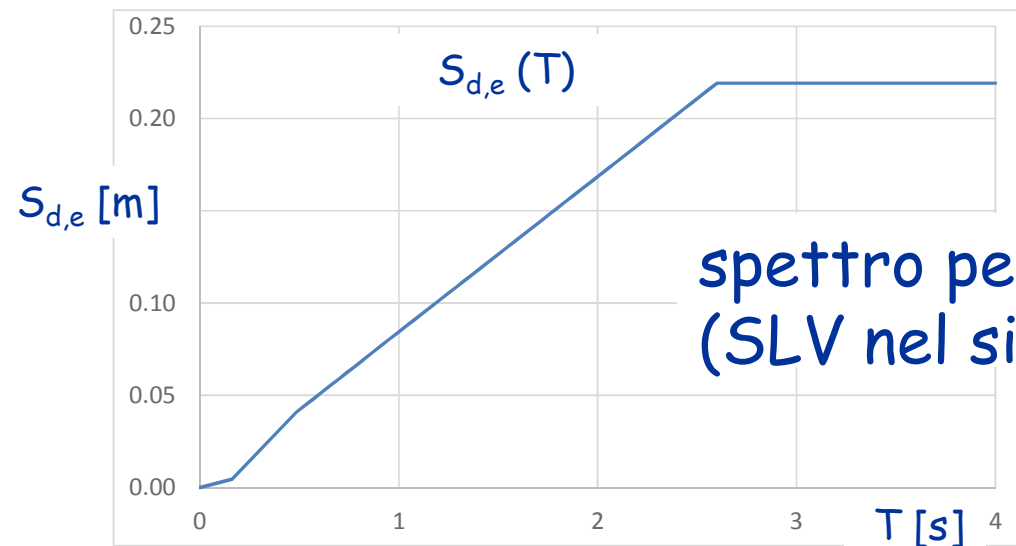
$$S_{d,ep} = S_{d,e} \quad \text{per } T \geq T_0$$

$$S_{d,ep} = \frac{\mu}{(\mu - 1)\frac{T}{T_0} + 1} S_{d,e} \quad \text{per } T < T_0$$

Nota: per semplicità in genere si usa $T_0 = T_c$, ma nell'esempio questo è irrilevante perché $T \gg T_c$

Determinazione di a_g metodo N2

- Per il punto (ovvero la bilatera) in esame
 - $D^* = 174.5 \text{ mm}$
 - $T = 2.778 \text{ s}$ tratto iniziale della bilatera



- $S_{d,e}(T) = 0.2192 \text{ m} = 219.2 \text{ mm}$

Determinazione di a_g metodo N2

- Per il punto (ovvero la bilatera) in esame
 - $D^* = 174.5 \text{ mm}$
 - $T = 2.778 \text{ s}$ tratto iniziale della bilatera
 - $S_{d,e}(T) = 219.2 \text{ mm}$ per $a_g = 0.25 \text{ g}$ (SLV nel sito)
 - $S_{d,ep}(T) = S_{d,e}(T)$ perché $T > T_c$
- Lo spostamento spettrale varia linearmente con a_g
Quindi il valore $D^* = 174.5 \text{ mm}$ corrisponde a

$$a_g = \frac{174.5}{219.2} \times 0.25 \text{ g} = 0.199 \text{ g}$$

Determinazione di a_g metodo N2

4. Accelerazione corrispondente a ciascun punto

passo	Dt - Do	Vb (kN)
0	0.000	0.00
1	2.907	21.52
2	3.327	24.44
3	4.678	33.52
4	9.018	61.08
5	10.074	67.55
6	10.518	70.10
7	11.322	74.48
8	11.729	76.63
9	11.733	76.65
10	12.715	81.69
11	15.467	95.24
12	16.006	97.85

.....

79	206.089	281.56
80	213.577	283.50
81	228.877	285.45
82	234.383	286.07
83	236.301	286.29

.....

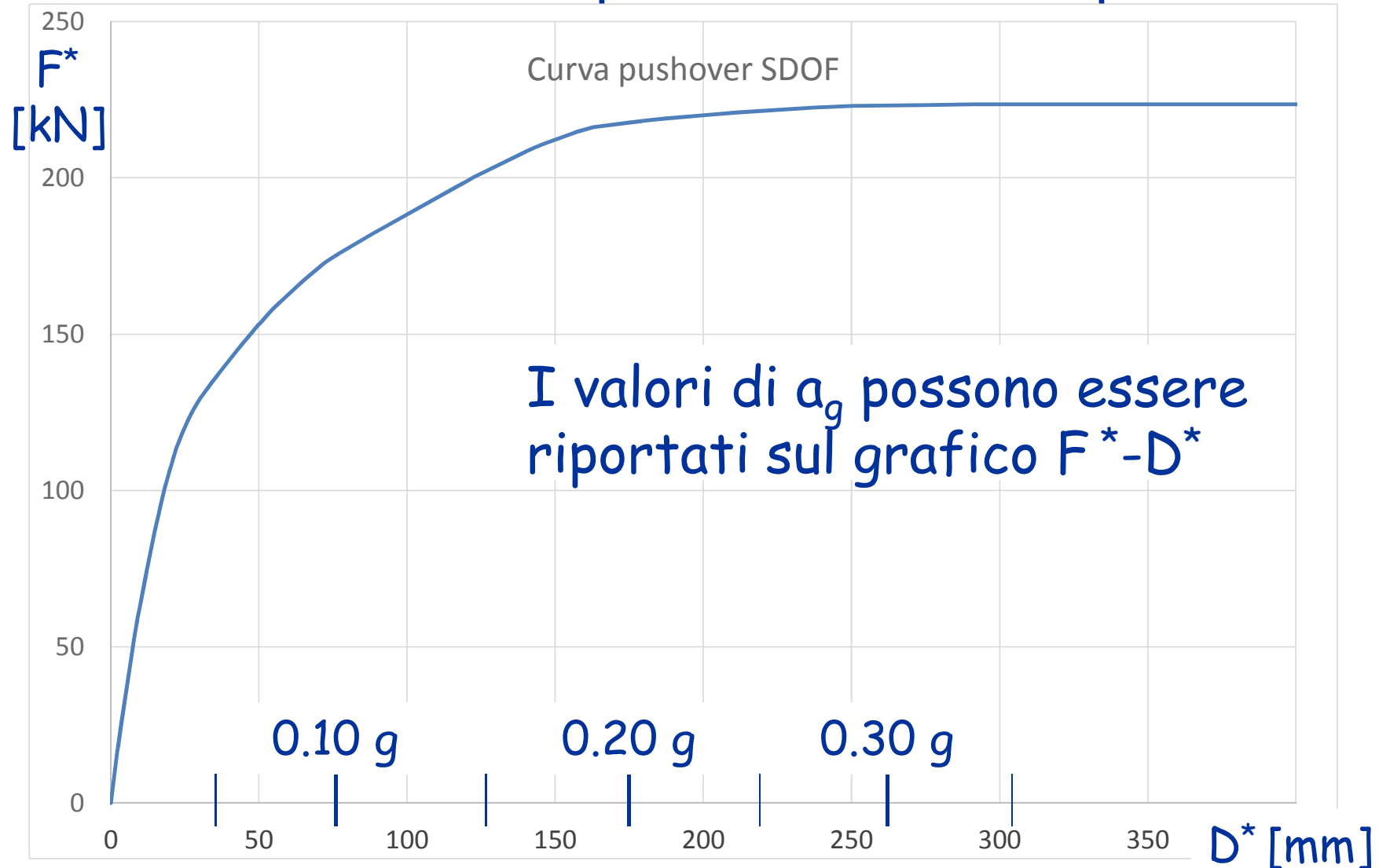
a_g
0.000
0.004
0.004
0.006
0.012
0.013
0.014
0.015
0.015
0.015
0.016
0.020
0.020

Tabella di valori $D_t - V_b$
forniti dall'analisi pushover

Si può aggiungere una colonna che
indica il valore di a_g
corrispondente a ciascun punto

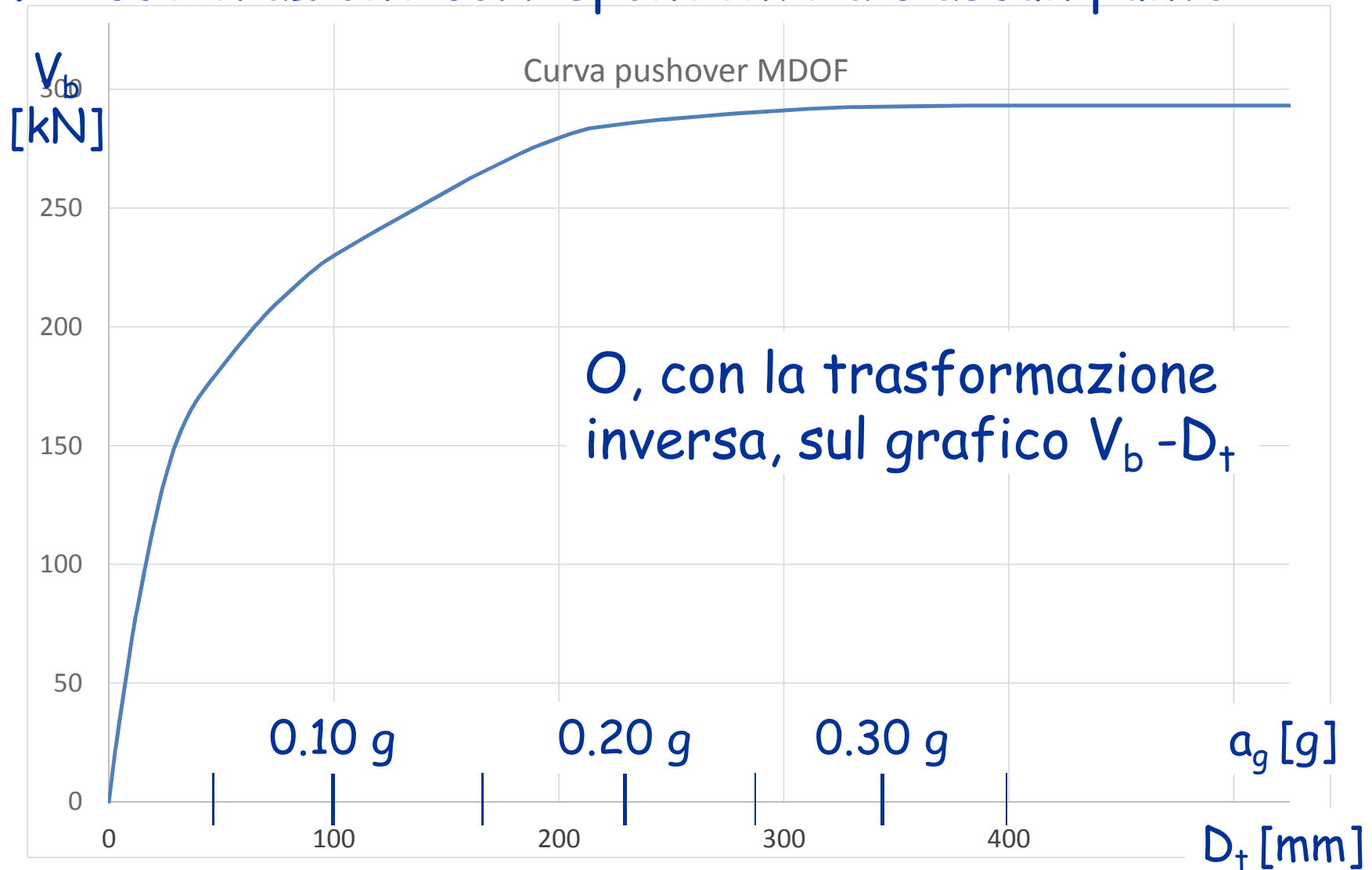
Determinazione di a_g metodo N2

4. Accelerazione corrispondente a ciascun punto



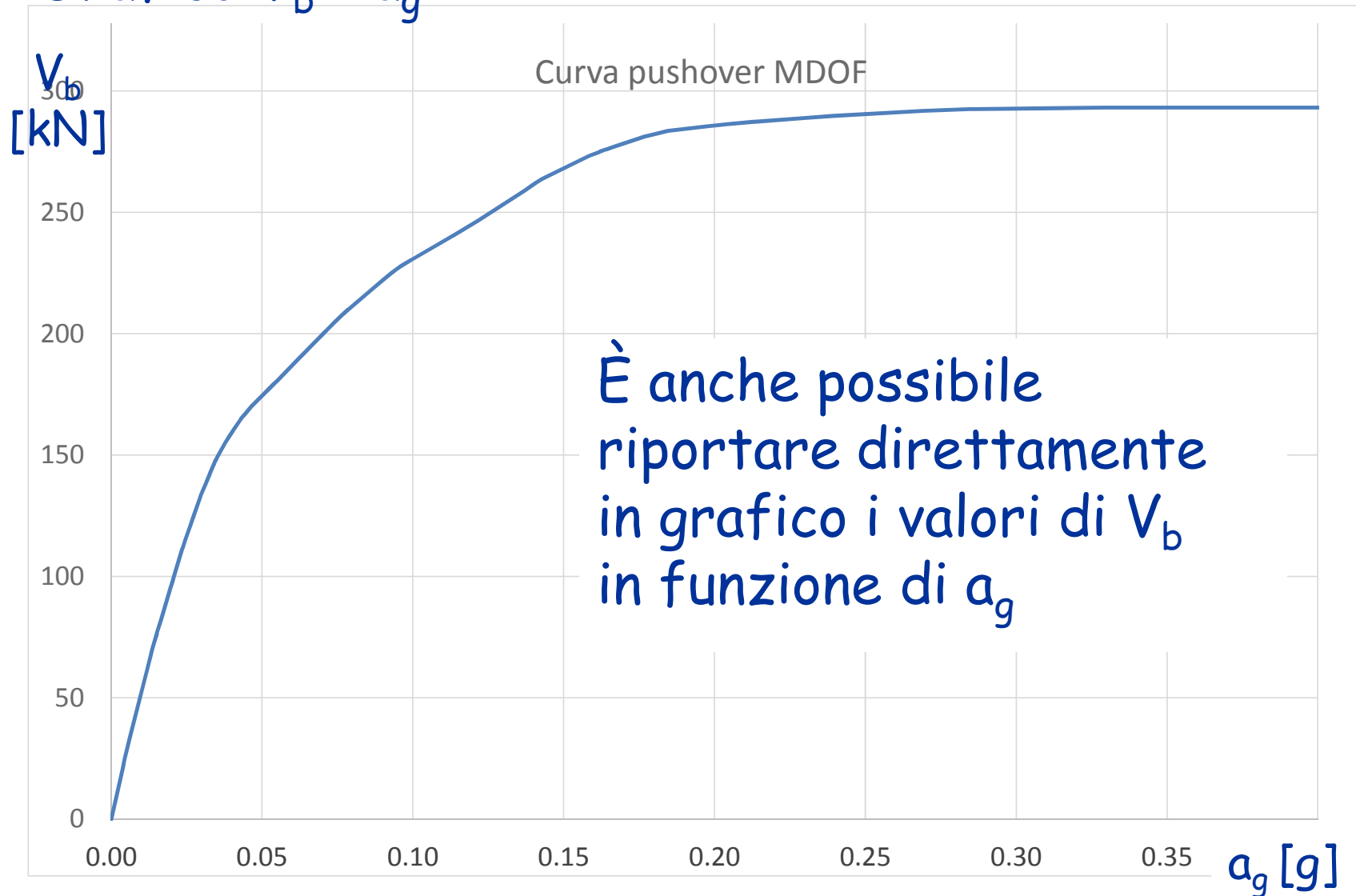
Determinazione di a_g metodo N2

4. Accelerazione corrispondente a ciascun punto



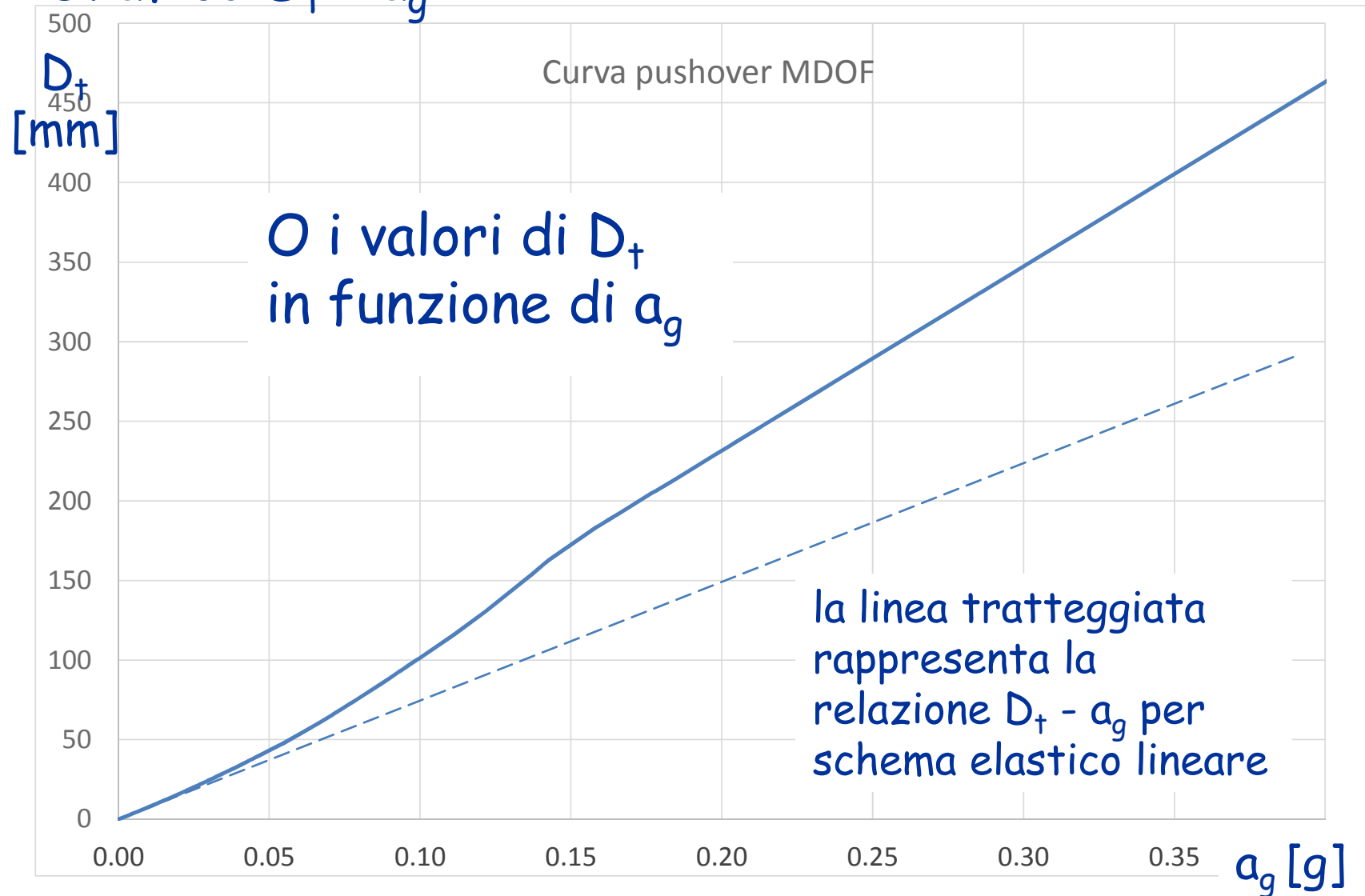
Determinazione di a_g metodo N2

- Grafico $V_b - a_g$



Determinazione di a_g metodo N2

- Grafico D_+ - a_g



Proposta alternativa

metodo N1, Bosco Gherzi Marino

È veramente necessario passare al sistema SDOF?

Proposta:

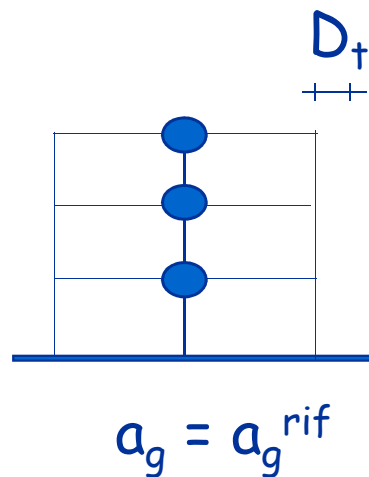
determinare lo spostamento richiesto (elasto-plastico) direttamente dallo spostamento (elastico) fornito dall'analisi modale con spettro di risposta del sistema MDOF

- corretto per tener conto della differenza $D_{e-p} - D_{el}$
- corretto per tener conto della pendenza iniziale della bilineare

Le stesse correzioni fatte nello SDOF

Determinazione di a_g metodo N1

1. Analisi modale con spettro di risposta (elastica)



$D_{t,el}^{\text{rif}}$ spostamento in testa
(el = elastico)

V_b^{rif} taglio al piede

T_1 periodo del modo
predominante

Nota: poiché il modello è elastico lineare,
gli spostamenti variano linearmente con PGA

Determinazione di a_g metodo N1

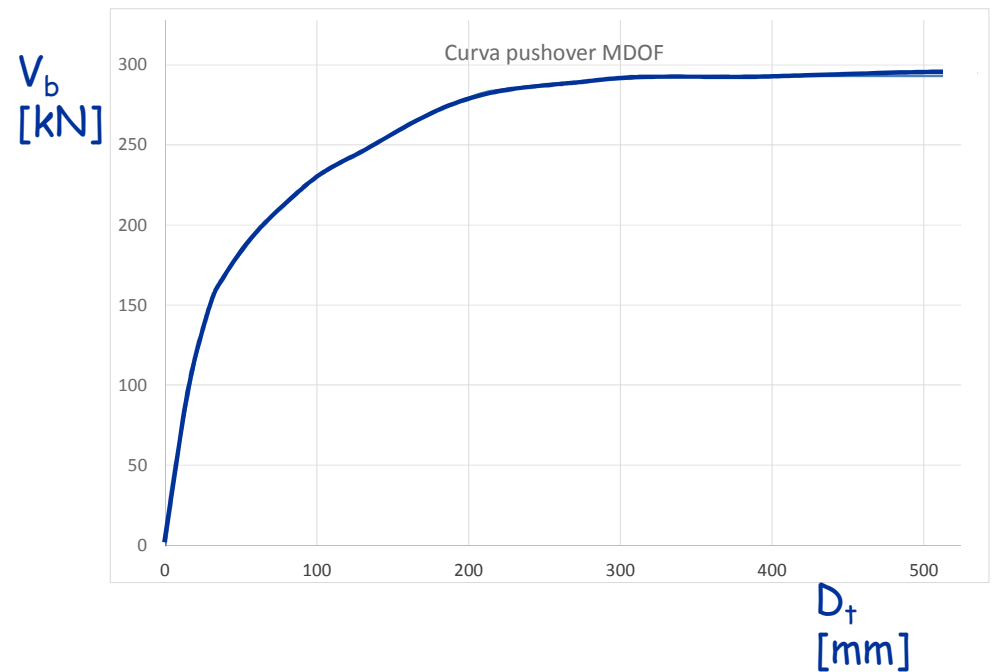
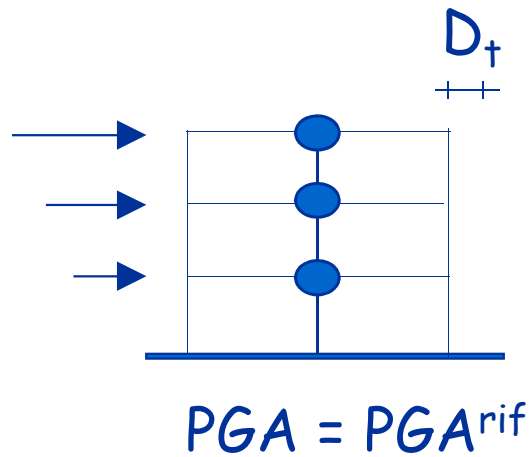
1. Analisi modale con spettro di risposta (elastica)

Nel caso in esame si ha:

- $D_{t,el}^{rif} = 185.55 \text{ mm}$
- $V_b^{rif} = 1373.8 \text{ kN}$
- $T_1 = 1.679 \text{ s}$

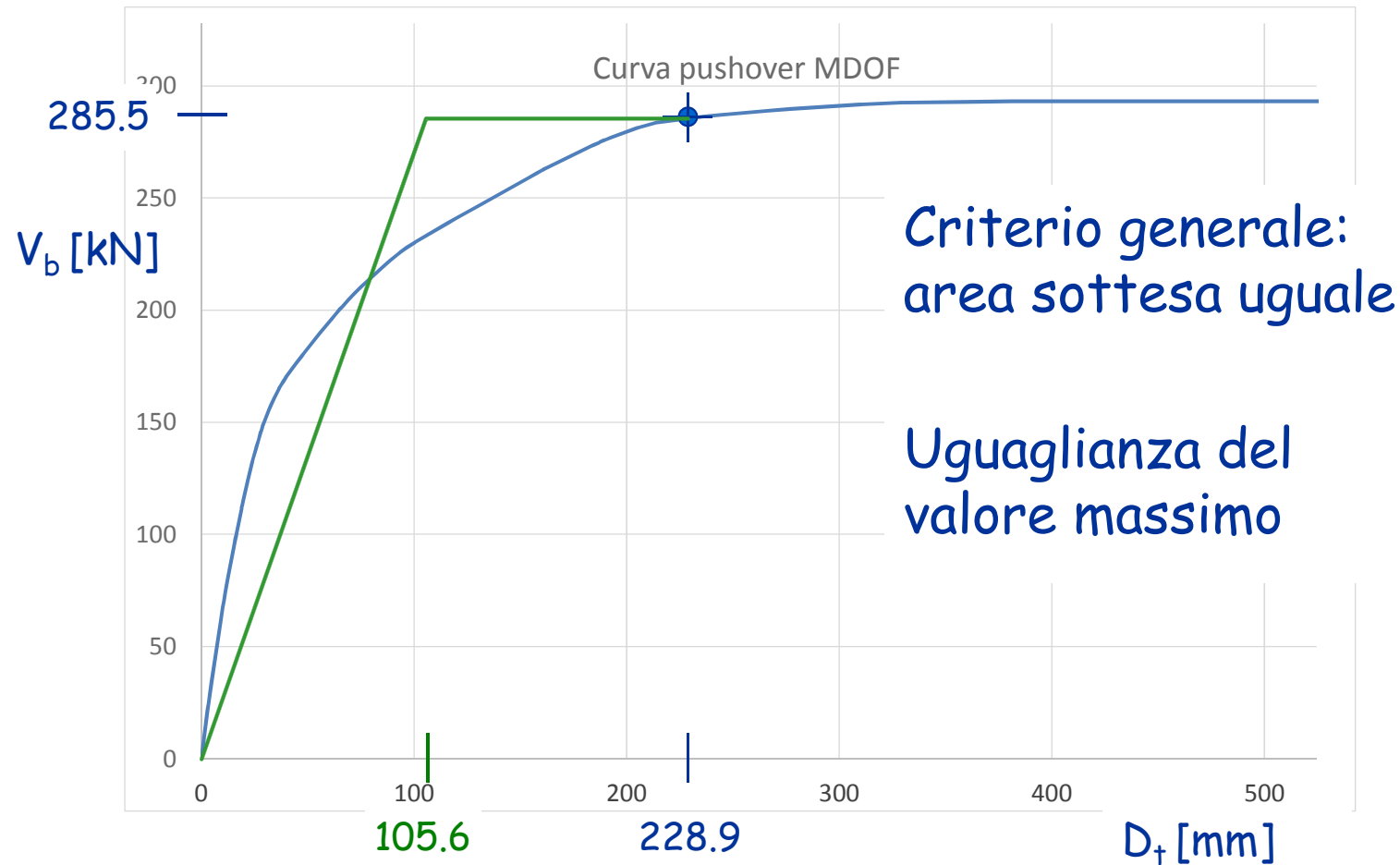
Determinazione di a_g metodo N1

2. Analisi pushover



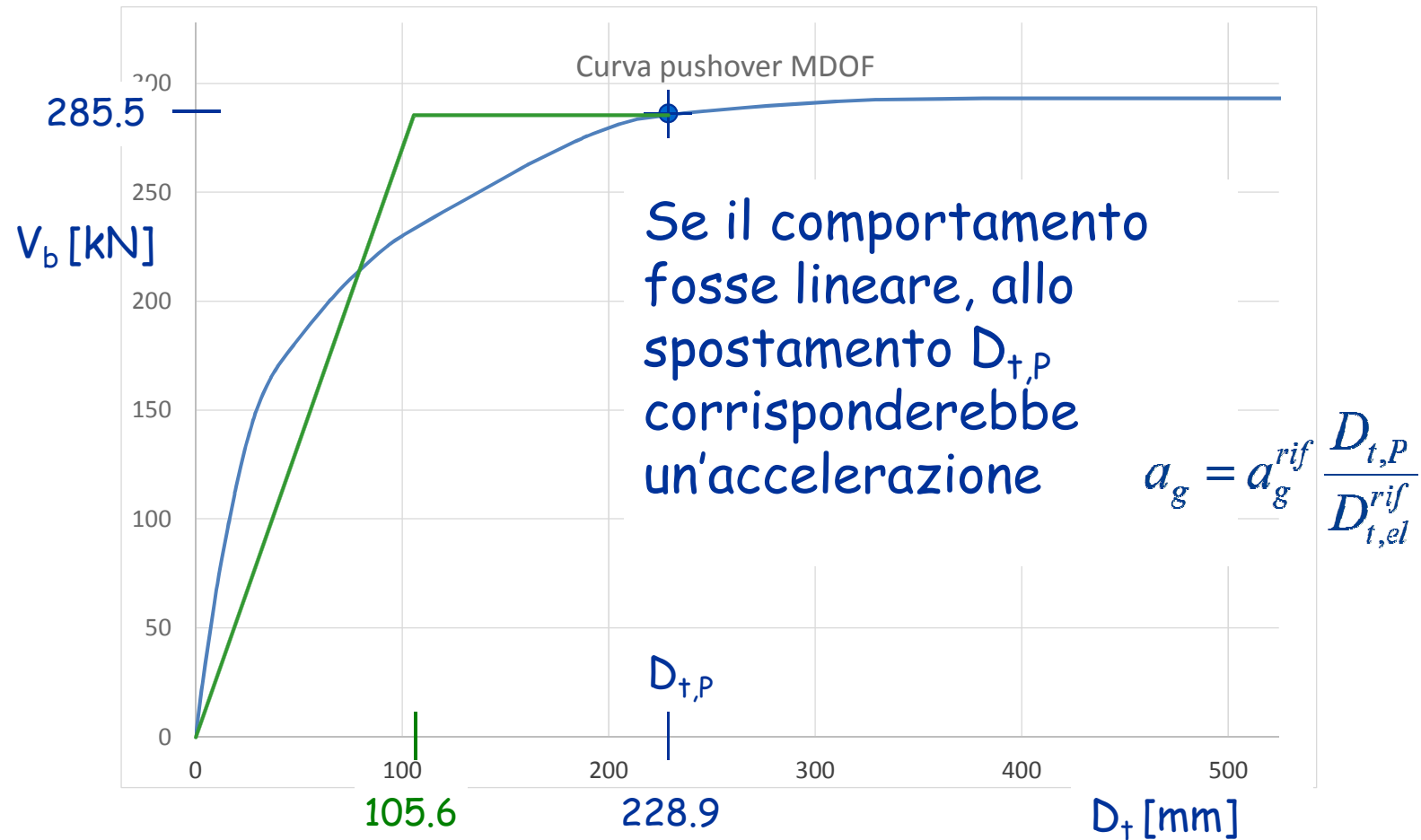
Determinazione di a_g metodo N1

3. Per un punto qualsiasi, trasformazione della curva in bilatera



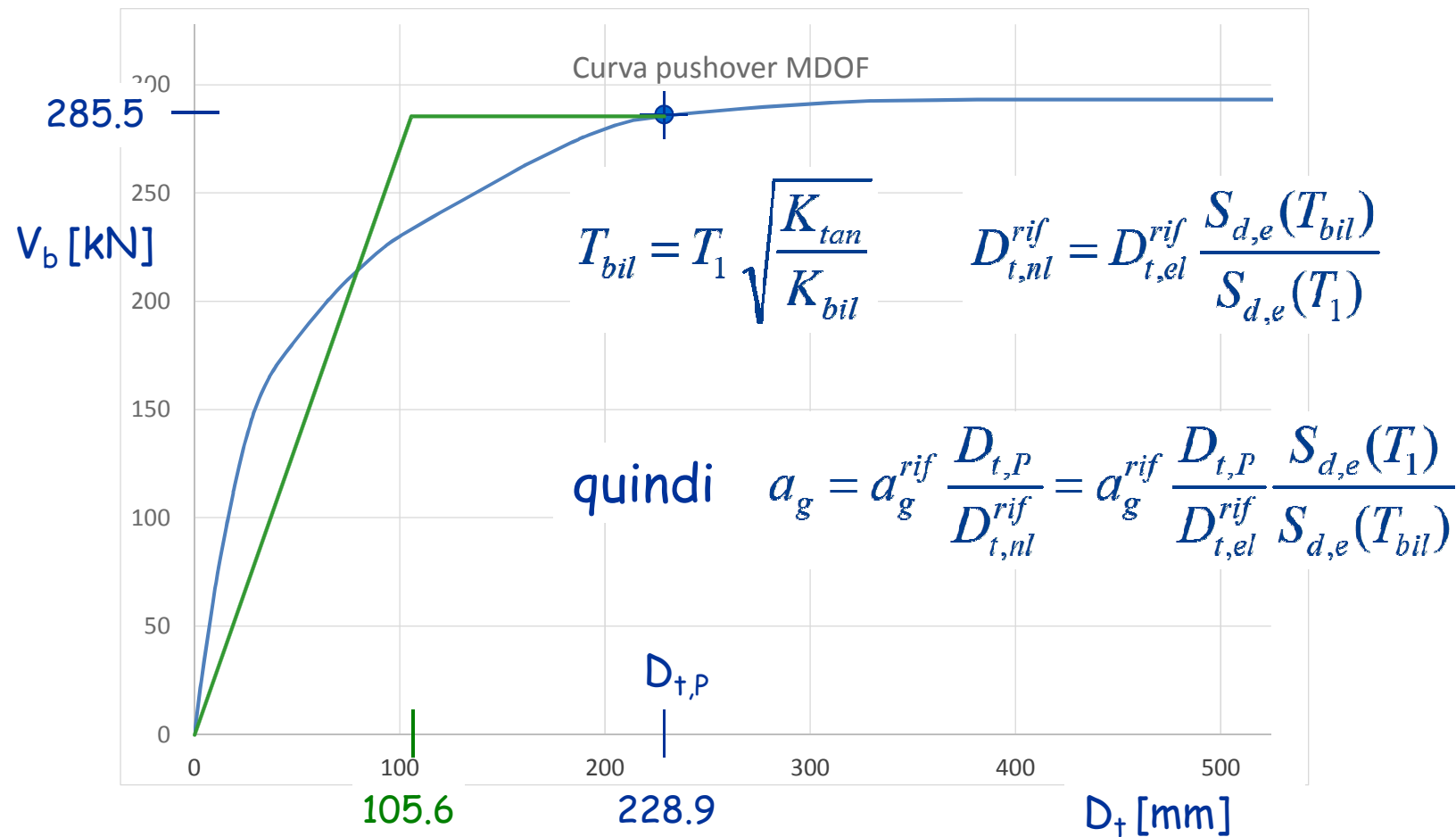
Determinazione di a_g metodo N1

4. Accelerazione corrispondente al punto



Determinazione di a_g metodo N1

4. Accelerazione corrispondente al punto
- ma occorre tener conto della riduzione di rigidità



Determinazione di a_g metodo N1

4. Accelerazione corrispondente al punto
- ma occorre tener conto della riduzione di rigidezza nel caso in esame

$$K_{tan} = 7.40 \text{ kN/mm} \qquad K_{bil} = \frac{285.5}{105.6} = 2.70 \text{ kN/mm}$$

$$T_{bil} = T_1 \sqrt{\frac{K_{tan}}{K_{bil}}} = 1.679 \sqrt{\frac{7.40}{2.70}} = 2.778 \text{ s}$$

$$S_{d,e}(T_1) = 141.5 \text{ mm} \qquad S_{d,e}(T_{bil}) = 219.2 \text{ mm}$$

quindi

$$a_g = a_g^{rif} \frac{D_{t,P}}{D_{t,el}^{rif}} \frac{S_{d,e}(T_1)}{S_{d,e}(T_{bil})} = 0.25 \times \frac{228.9}{185.5} \times \frac{141.5}{219.2} = 0.199 \text{ g}$$

Determinazione di a_g metodo N1

4. Accelerazione corrispondente al punto

- ma occorre tener conto della riduzione di rigidezza
- se il periodo T_{bil} fosse stato inferiore a T_c si sarebbe dovuto effettuare una ulteriore correzione per tener conto della differenza di spettro di risposta di spostamento per schema non lineare

in tal caso

$$a_g = a_g^{rif} \frac{D_{t,P}}{D_{t,el}^{rif}} \frac{S_{d,e}(T_1)}{S_{d,e}(T_{bil})} \frac{1}{\mu} \left[1 + (\mu - 1) \frac{T}{T_c} \right]$$

Determinazione di a_g metodo N1

- Con le relazioni precedenti, si può far corrispondere ad ogni spostamento un valore di PGA
- I valori che si ottengono coincidono perfettamente con quelli del metodo N2 se la distribuzione delle forze è modale

Determinazione di a_g

metodo di Freeman

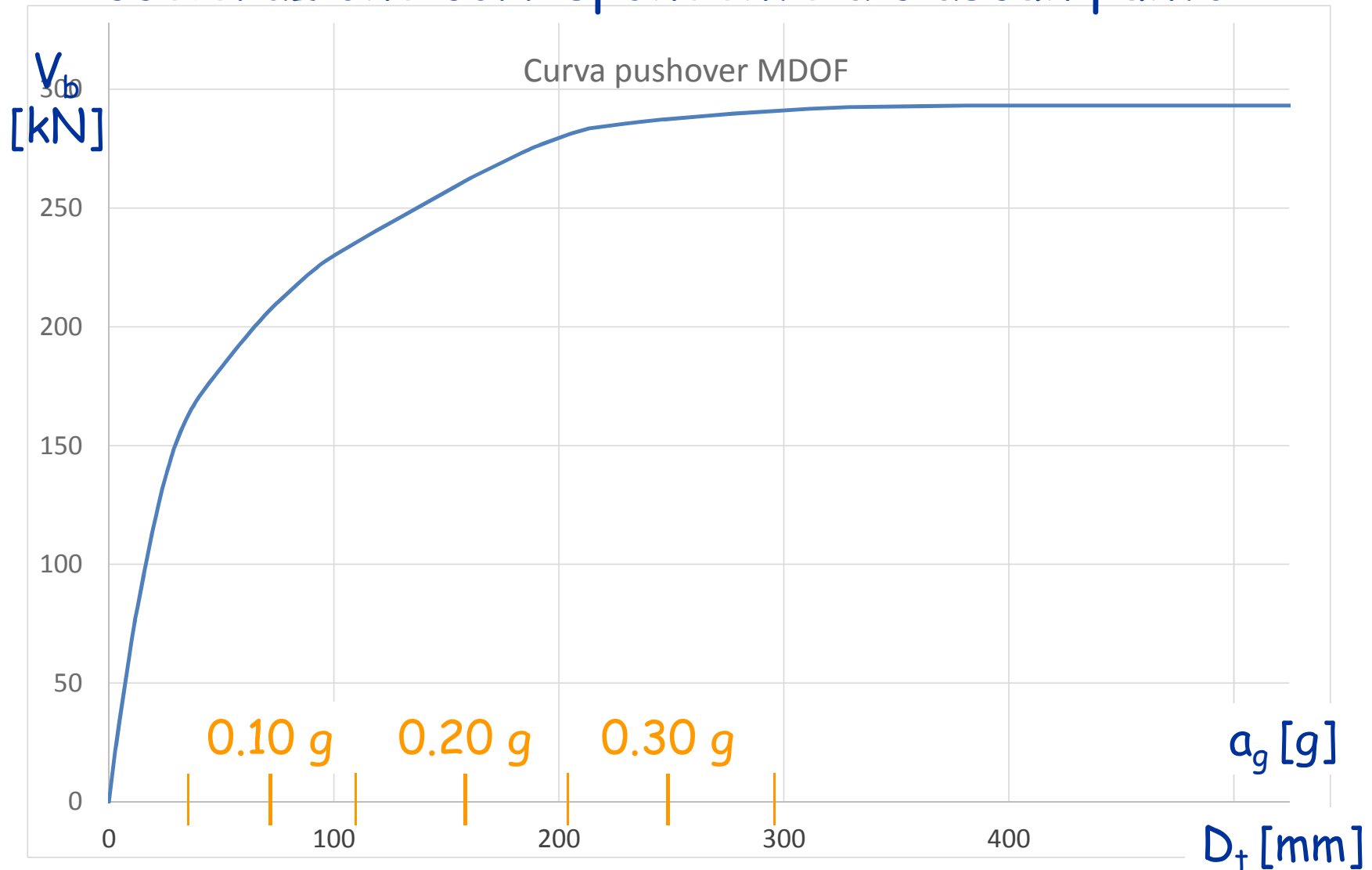
- È stato proposto prima del metodo N2
- Segue sostanzialmente quello schema
 - Passaggio da MDOF a SDOF
 - Bilinearizzazione della curva
 - Periodo di riferimento quello del tratto iniziale della bilatera
 - Confronto tra spostamento della bilatera e valori dello spettro di risposta
- Differenza fondamentale:
tiene conto della dissipazione (isteretica) usando valori dello smorzamento (viscoso) maggiori al crescere di μ

Determinazione di a_g metodo di Freeman

- La curva di pushover è sempre la stessa
- Per ogni punto si ottengono accelerazioni diverse (maggiori, tanto più quanto maggiore è μ)
- Ad esempio, per il punto esaminato prima si ottiene $a_g = 0.278 \text{ g}$ (anziché 0.199 g)

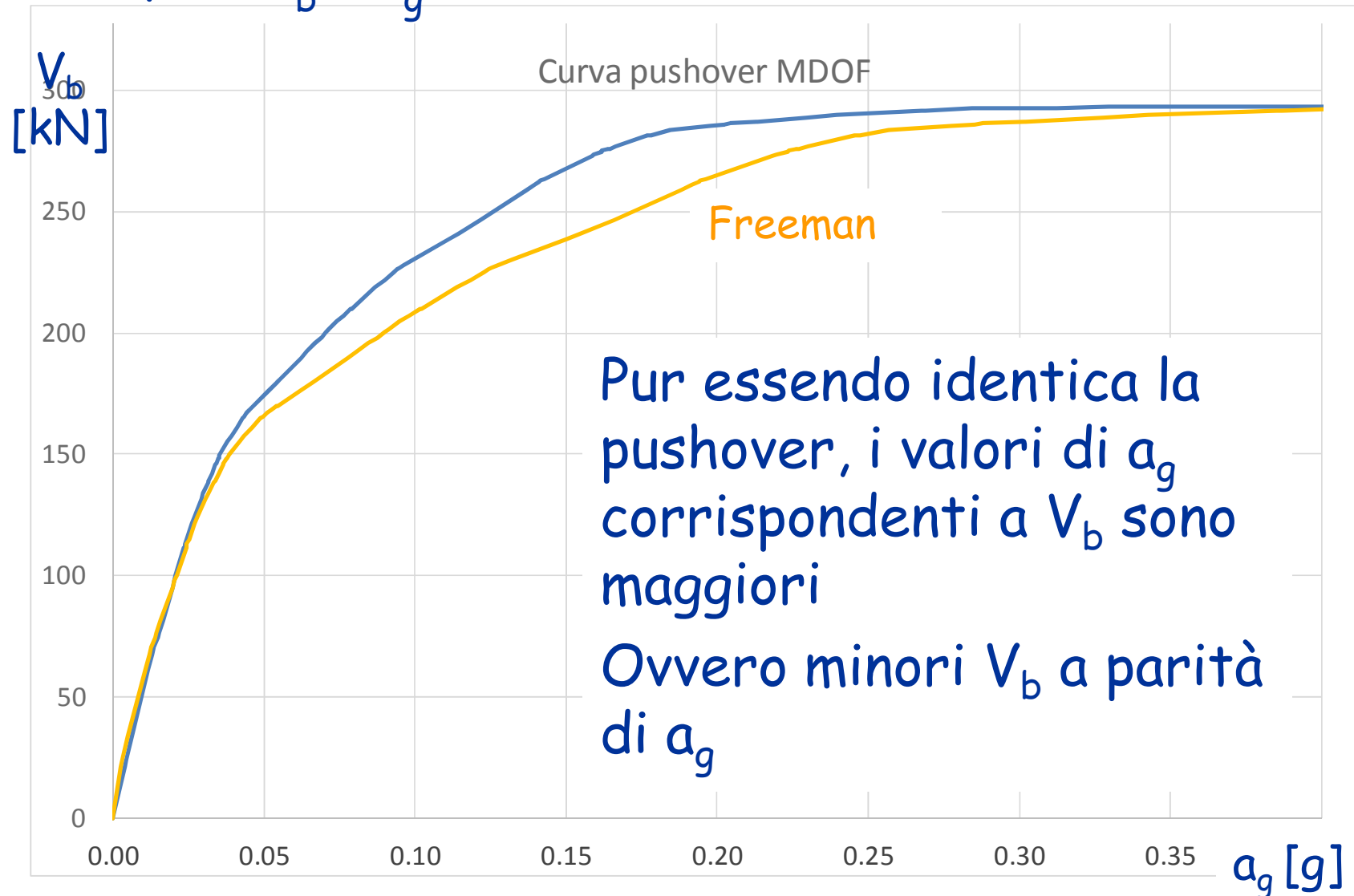
Determinazione di a_g metodo di Freeman

- Accelerazione corrispondente a ciascun punto



Determinazione di a_g confronto metodo N2 e Freeman

- Grafico $V_b - a_g$



Determinazione di a_g confronto metodo N2 e Freeman

- Grafico D_+ - a_g

